



PONTIFÍCIA UNIVERSIDADE CATÓLICA DO PARANÁ

ESCOLA DE CIÊNCIAS DA VIDA
PROGRAMA DE PÓS-GRADUAÇÃO EM ODONTOLOGIA
ÁREA DE CONCENTRAÇÃO CLÍNICA ODONTOLÓGICA
INTEGRADA – ÊNFASE DENTÍSTICA

ISABELA DA NÓBREGA JANNINI

**Efeito do Tratamento de Superfície e Abordagem
Adesiva na Resistência de União à Dentina Esclerótica de
Lesões Cervicais Não-carosas**

Curitiba
2018

ISABELA DA NÓBREGA JANNINI

**Efeito do Tratamento de Superfície e Abordagem Adesiva na
Resistência de União à Dentina Esclerótica de Lesões Cervicais
Não-cariosas**

Dissertação apresentada ao Programa de Pós-Graduação em Odontologia da Pontifícia Universidade Católica do Paraná, como parte dos requisitos para obtenção do título de Mestre em Odontologia, Área de Concentração em Clínica Odontológica Integrada (Ênfase em Dentística).

Orientador: Prof^a. Dr^a. Evelise Machado de Souza

**Curitiba
2018**

AGRADECIMENTOS

À minha mãe, minha inspiração para introdução à docência, que leu e aprovou meus textos mesmo não fazendo parte do meio odontológico;

Ao meu pai, por fazer tudo parecer mais leve;

Às minhas irmãs, por terem compartilhado comigo os melhores momentos da minha vida e mais este;

Ao Leo, pelo apoio incondicional, e sua família, que me abrigaram em Curitiba inúmeras vezes, sempre oferecendo café quentinho da Dona Glecy;

Aos meus colegas de turma, que se tornaram amigos e foram essenciais para a conclusão deste estudo;

À minha orientadora, Profª Evelise Machado Souza, que fez o possível e impossível para que tudo saísse perfeito;

Aos professores e funcionários da Pós-graduação PUCPR, pelos ensinamentos e disposição;

Ao Eduardo, funcionário do Centro de Microscopia Eletrônica, pela disposição e ótimo trabalho;

À Rosana, pelas inúmeras visitas ao banco de dentes e o otimismo quanto à conclusão deste trabalho e à Talita, que cuidadosamente contribuiu com a seleção da amostra;

Obrigada!

Sumário

ARTIGO EM PORTUGUÊS

Página Título.....	01
Resumo.....	02
Introdução.....	03
Materiais e Método.....	05
Resultados.....	08
Discussão.....	12
Conclusão	14
Referências.....	15

ARTIGO EM INGLÊS

Title Page.....	20
Abstract.....	21
Introduction.....	22
Materials and Method.....	24
Results.....	27
Discussion.....	30
Conclusion.....	33
References.....	33

ANEXOS

Parecer do Comitê de Ética	38
Análise estatística	41
Normas para publicação – Operative Dentistry.....	45

1 **ARTIGO EM PORTUGUÊS**

2 **Título:** Efeito do Tratamento de Superfície e Abordagem Adesiva na
3 Resistência de União à Dentina Esclerótica de Lesões Cervicais Não-cariosas

4

5 **Título curto:** Resistência de união à dentina esclerótica de lesões
6 cervicais não-cariosas

7

8 **Relevância clínica:** A adesão da resina composta à dentina esclerótica
9 de lesões cervicais não-cariosas pode ser prejudicada devido a alterações do
10 substrato dentinário nessas condições.

11

12 **Autores:**

13 Isabela da Nóbrega Jannini, Cirurgiã-Dentista, Mestranda.

14 Programa de Pós-graduação em Odontologia, Escola de Ciências da
15 Vida, Pontifícia Universidade Católica do Paraná, Curitiba, PR, Brasil.

16

17 Evelise Machado de Souza, Cirurgiã-Dentista, Especialista, Mestre e
18 Doutora em Dentística Restauradora.

19 Programa de Pós-graduação em Odontologia, Escola de Ciências da
20 Vida, Pontifícia Universidade Católica do Paraná, Curitiba, PR, Brasil.

21

22

23

24

25

26

27

28

29

30

31

32

33

Resumo

OBJETIVO: Avaliar a resistência de união de uma resina composta à dentina de lesões cervicais não-cariosas (LCNCs), quando submetida a diferentes tratamentos de superfície e diferentes abordagens adesivas. **MATERIAIS e MÉTODO:** Trinta e seis pré-molares com LCNCs escleróticas foram selecionados e distribuídos aleatoriamente em grupos, de acordo com o pré-tratamento mecânico aplicado: C (controle sem tratamento), PD (abrasão da dentina com ponta diamantada) e JT (Jateamento com partículas de óxido de alumínio). Depois, de acordo com a abordagem adesiva, cada grupo foi subdividido em C (convencional) ou A (autocondicionante) ($n=6$). Os dentes foram restaurados com resina composta nanoparticulada e armazenados em água a 37°C por 24 horas. Os dentes foram seccionados em microespécimes (1mm^2) e submetidos ao teste de resistência à microtração em máquina de teste universal ($0,5\text{ mm/min}$). Os dados obtidos foram submetidos a ANOVA a 2 critérios e Teste de Tukey HSD ($\alpha=5\%$). **RESULTADOS:** Os grupos PD-C e JT-C apresentaram diferenças significantes quando comparados as suas contrapartes PD-A e JT-A ($p<0,05$). O grupo C-C se mostrou semelhante a todos os demais grupos ($p>0,05$). **CONCLUSÃO:** Tratamentos de superfície por si só não são capazes de aumentar a resistência de união em LCNCs. A abordagem adesiva convencional foi mais efetiva que a autocondicionante quando um tratamento foi empregado sobre a dentina esclerótica.

34

35 *Palavras-chave:* *Lesões cervicais não-cariosas; dentina esclerótica;*
36 *resistência de união à microtração; tratamento de superfície; adesivo universal.*

37

38

39

40

41

42

43

44

45

46

47 **Introdução**

48 As Lesões Cervicais Não-cariosas (LCNCs) caracterizam-se pela perda
49 irreversível de estrutura mineralizada, sem envolvimento bacteriano, na região
50 próxima à junção amelocementária, resultando na exposição da dentina
51 subjacente¹.

52 A prevalência dessas lesões tem aumentado com o envelhecimento da
53 população e da longevidade dos dentes naturais². Um estudo *in vitro* recente
54 que examinou 6541 dentes humanos extraídos reportou a presença de LCNCs
55 em 38,7% dos dentes extraídos avaliados, sendo 41,6% em dentes superiores
56 e 36% em inferiores, principalmente caninos e primeiros pré-molares³. De
57 acordo com um estudo clínico, os caninos são afetados em 23% a 25% dos
58 casos, primeiros pré-molares de 23% a 34% e segundos pré-molares de 25% a
59 31% dos casos⁴.

60 Há diversos fatores de risco para as LCNCs, que atuam com
61 intensidade, duração e frequência variáveis, de forma isolada ou associada, o
62 que caracteriza a condição como multifatorial⁵. A identificação da etiologia das
63 LCNCs é importante para prevenir o desenvolvimento de novas lesões,
64 interromper a progressão de lesões pré-existentes e determinar o tratamento
65 apropriado.

66 O tratamento restaurador das LCNCs é considerado desafiador, uma vez
67 que a cavidade não é retentiva e sua margem frequentemente se localiza em
68 nível sub-gengival, área extremamente suscetível à contaminação por sangue
69 ou fluidos gengivais devido à dificuldade de isolamento⁵. Além disso, a etiologia
70 multifatorial das LCNCs parece influenciar a integridade do substrato
71 dentinário⁶. Alterações histomorfológicas são comuns, como a esclerose
72 dentinária^{7,8}, que consiste na redução fisiológica do lúmen dos túbulos
73 dentinários⁹ devido a deposição de componentes inorgânicos¹⁰ em resposta a
74 estímulos crônicos¹¹. A consequência direta dessas alterações é que o
75 substrato dentinário encontrado nas lesões cervicais pode apresentar
76 obliteração total dos túbulos dentinários no teto e no assoalho da lesão¹². A
77 permeabilidade reduzida desse substrato compromete a adesão, devido à
78 limitada infiltração de monômeros resinosos na dentina, prejudicando a
79 formação da camada híbrida¹³⁻¹⁵.

80 Por isso, mudanças no protocolo tipicamente empregado para
81 restaurações adesivas têm sido sugeridas quando há presença de esclerose
82 dentinária, incluindo o aumento do tempo de condicionamento ácido^{14,16,17},
83 abrasão de superfície com pontas diamantadas^{15,18} e jateamento com
84 partículas de óxido de alumínio¹⁹, todos com o intuito de aumentar a retenção
85 mecânica a esse substrato. No entanto, estudos prévios reportaram que o
86 aumento do tempo de condicionamento ácido não resulta em aumento da
87 resistência de união em dentina esclerosada ou LCNCs quando um sistema
88 adesivo convencional de dois passos foi utilizado, tanto em um estudo *in vitro*¹⁴
89 quanto *in vivo*¹⁶. Estudos investigando as características da interface adesiva
90 mostraram que o condicionamento ácido em dentina esclerótica não é
91 uniforme, culminando em uma camada híbrida com espessura
92 significantemente variada²⁰, com manutenção de “*dentin casts*” e formação de
93 tags de resina curtos ou mesmo sua ausência^{16, 21}.

94 A divergência entre os resultados de estudos que analisaram o efeito de
95 pontas diamantadas sobre a dentina esclerótica destaca a necessidade de
96 maior evidência científica sobre a sua eficácia como pré-tratamento em LCNCs.
97 Enquanto um estudo reportou um aumento na espessura da camada híbrida
98 para adesivos convencionais e autocondicionantes quando a dentina superficial
99 foi removida com ponta diamantada²², em outro estudo, a abrasão com pontas
100 de diferentes granulações não aumentou a resistência de união em dentina
101 esclerosada de dentes bovinos²³. Além disso, estudos clínicos randomizados
102 mostraram que a abrasão com ponta diamantada em dentina esclerótica de
103 LCNCs não foi capaz de aumentar a retenção das restaurações,
104 independentemente do sistema adesivo aplicado^{15,24}. Contudo, uma meta-
105 análise concluiu que o sucesso clínico das restaurações cervicais é
106 significantemente influenciado pelo sistema adesivo empregado e as
107 superfícies de esmalte e dentina devem ser abrasionadas anteriormente à
108 restauração²⁵.

109 A literatura é escassa quanto à efetividade do jateamento com partículas
110 de óxido de alumínio como pré-tratamento na dentina^{18,19} e não há estudos que
111 reportem sua efetividade na resistência de união de resinas compostas à
112 dentina esclerótica. Portanto, estudos adicionais devem ser realizados para
113 avaliar a efetividade de diferentes pré-tratamentos do substrato dentinário em

114 LCNCs, com o intuito de aumentar a longevidade do tratamento restaurador
115 dessas lesões.

116 Sendo assim, o objetivo deste estudo *in vitro* foi avaliar a resistência de
117 união de uma resina composta à dentina esclerótica de dentes com LCNCs
118 naturais, utilizando diferentes métodos de pré-tratamento mecânico da
119 superfície dentinária e abordagens adesivas de um adesivo universal. As
120 hipóteses nulas testadas foram:1) não haveria diferença entre os pré-
121 tratamentos mecânicos e 2) não haveria diferença entre as abordagens
122 adesivas na resistência de união da resina composta à dentina esclerótica de
123 LCNCs.

124

125 **Materiais e método**

126 *Seleção dos dentes*

127 Trinta e seis dentes humanos, entre pré-molares e caninos, com LCNCs
128 escleróticas foram obtidos no Banco de Dentes após aprovação do projeto de
129 pesquisa no Comitê de Ética local (n. 2.142.723). Os dentes foram
130 armazenados em clorammina T 0,5% a 4°C durante um período máximo de 6
131 meses antes da utilização. Dentes comprometidos por cárie, defeitos cervicais
132 produzidos artificialmente, ou com raiz incompletamente formada foram
133 excluídos do estudo. Todos os dentes incluídos foram limpos e imersos em
134 cuba ultrassônica durante 10 minutos previamente à preparação. As raízes dos
135 dentes selecionados foram incluídas em resina acrílica e eles foram
136 aleatoriamente divididos em 6 grupos (n=6).

137

138 *Confecção dos espécimes*

139 A Tabela 1 mostra a descrição dos grupos de estudo. No grupo controle
140 C-C, foi utilizada a abordagem de convencional com o condicionamento com
141 ácido fosfórico 37% (Condac 37, FGM Produtos Odontológicos, Joinville, SC,
142 Brasil) realizado por 15 s, seguido de rinsagem com spray de ar/água por 20 s.
143 O excesso de água foi removido com papel absorvente e o adesivo foi aplicado
144 sobre a dentina, ativamente, por 20 s (Scotchbond Universal, 3M ESPE Dental
145 Products, St. Paul, MN), seguido de jato de ar indireto por 5 segundos. Os
146 dentes do grupo controle C-A não receberam condicionamento ácido prévio e

147 foram submetidos à aplicação ativa do adesivo por 20 s, e seguido de jato de ar
148 indireto por 5 s, caracterizando uma abordagem autocondiconante.

149 A superfície dentinária foi abrasionada com uma ponta diamantada
150 esférica (801.11.012 HP Medium Round Diamond, Brasseler USA® Dental,
151 Savannah, GA) por 15 s nos dentes dos grupos PD. Nos grupos JT, a dentina
152 recebeu jateamento com partículas de 50 µm de óxido de alumínio a uma
153 distância de 10 mm, (Microjato Plus, Bio-Art Equipamentos Odontológicos
154 Ltda., São Carlos, SP, Brasil) sob pressão de 80 psi, durante 15 s. O adesivo
155 foi aplicado como previamente descrito para os grupos-controle.

156 Em todos os grupos, o adesivo foi fotoativado por 20 s com unidade
157 fotopolimerizadora (Elipar Free Light 2, 3M ESPE Dental Products, St. Paul,
158 MN) com irradiação de 1000 mW/cm². As cavidades foram restauradas com
159 resina nanoparticulada (Filtek Z350 XT, cor A2 de corpo, 3M ESPE Dental
160 Products, St. Paul, MN) inserida em incrementos, formando um bloco de 5 mm
161 de espessura. Cada incremento foi fotopolimerizado por 20 s. Os espécimes
162 foram então armazenados em água, a 37°C, durante 24 horas. A Figura 1
163 ilustra a metodologia completa do estudo.

164

165 Tabela 1: Descrição dos grupos de estudo.

Grupo	Tratamento de Superfície	Abordagem Adesiva	Modo de Aplicação
C-C	-	Convencional	Condicionamento com ácido fosfórico por 15 s, rinsagem com jato ar/água por 20 s, secagem com papel absorvente, aplicação ativa do adesivo por 20 s seguida de jato de ar indireto por 5 s
PD-C	Ponta diamantada		
JT-C	Jateamento com partículas de Al ₂ O ₃		
C-A	-	Autocondionante	Aplicação ativa do adesivo por 20 s seguida de jato de ar indireto por 5 s
PD-A	Ponta diamantada		
JT-A	Jateamento com partículas de Al ₂ O ₃		

166

167 *Teste de resistência de união à microtração*

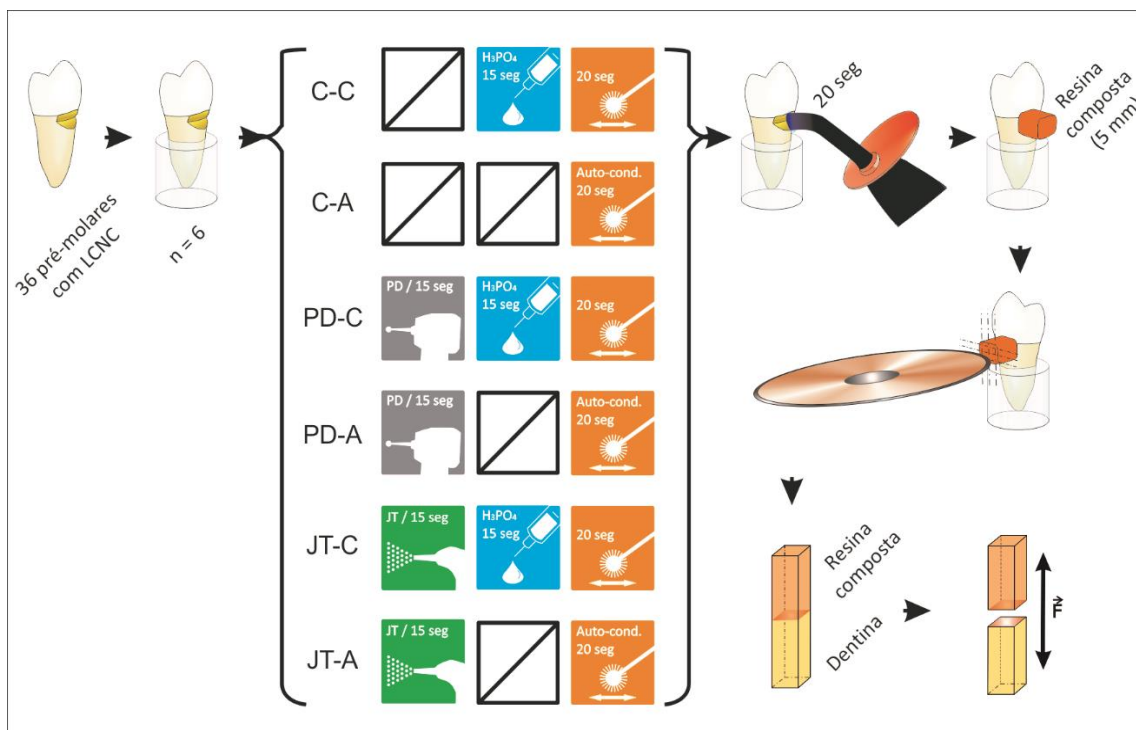
168 Os espécimes foram seccionados nos eixos x e y com um disco de corte
169 diamantado (Extec Corp., Enfield, CT) em máquina de corte de precisão
170 (Isomet 1000, Buehler, Lake Bluff, IL) com disco diamantado para a obtenção
171 de microespécimes com área transversal de 1,0 mm². As dimensões dos

172 espécimes foram medidas com um paquímetro digital. Os mesmos foram
173 armazenados em água a 37°C por 72 horas.

174 Os espécimes foram fixados em um dispositivo de microtração (OD03d,
175 Odeme Biotechnology Ltd., Joaçaba, SC, Brasil) utilizando uma cola a base de
176 cianoacrilato e acelerador (Slo-Zap Thick, Super-Glue Corp., Ontario, CA).

177 O teste de resistência de união à microtração foi realizado em máquina
178 de teste universal (DL 2000, EMIC Equipamentos e Sistemas de Ensaio Ltda.,
179 São José dos Pinhais, PR, Brasil) a uma velocidade de 0,5 mm/min. Os
180 registros dos valores obtidos em kgf foram convertidos em MPa, considerando
181 a área individual de cada espécime.

182



183
184 Figura 1: Ilustração esquemática da metodologia do estudo com descrição dos
185 controles e grupos experimentais e preparação dos espécimes para o teste de
186 resistência à microtração.

187

188 Análise do Modo de Fratura

189 Os modos de fratura de cada espécime foram determinados sob
190 microscópio óptico com magnificação de 40x e classificados em: falha coesiva
191 na resina, falha coesiva na dentina, adesiva ou mista (mais de duas estruturas
192 envolvidas).

193
194 *Análise da morfologia da dentina com Microscopia Eletrônica de Varredura*
195 (*MEV*)
196 Espécimes adicionais foram produzidos a partir de dentes com LCNCs
197 sem tratamento e submetidos à abrasão com ponta diamantada e jateamento
198 com óxido de alumínio para a análise da morfologia da superfície de dentina
199 antes e após os tratamentos avaliados. Os espécimes foram limpos em banho
200 de ultrassom com água destilada por 15 minutos, mantidos em dessecador à
201 vácuo com sílica durante 7 dias e metalizados com liga de Au-Pd para análise
202 da morfologia dentinária em microscópio eletrônico de varredura (Vega II SEM,
203 Tescan, CZ), sob magnificação de 1000x e 2500x.
204
205
206 **Análise Estatística dos Dados**
207 Cada dente foi considerado uma unidade amostral e os valores médios
208 dos microespécimes de um mesmo dente foram usados para calcular a
209 resistência de união média de cada grupo. Os dados obtidos foram analisados
210 quanto à normalidade de distribuição pelo teste de Kolmogorov-Smirnov e
211 homogeneidade de variâncias por teste de Levene. ANOVA a dois critérios e
212 Teste de Tukey HSD foram utilizados para detectar diferenças entre os grupos
213 ($p<0,05$). Para todos os testes, foi usado nível de significância de 5%. Os
214 dados foram analisados no software estatístico SPSS 24.0 (IBM Software,
215 Nova Iorque, NY).

216
217 **Resultados**
218 *Resistência de união à microtração*
219 A Tabela 2 mostra os resultados de ANOVA a dois critérios. Foram
220 detectadas diferenças significantes para a variável "tratamento de superfície"
221 ($p=0.008$) e "abordagem adesiva" ($p=0.000$). No entanto, a interação entre elas
222 não foi significante ($p=0.040$).
223 As médias de resistência de união, desvio-padrão, intervalo de confiança
224 e número de espécimes testados em cada grupo estão dispostos na Tabela 3.
225 Não houve diferença significante entre os grupos em que foi utilizada

226 abordagem convencional ($p>0,05$), e entre os grupos com abordagem
227 autocondicionante ($p>0,05$).

228 Os grupos que receberam tratamento mecânico de superfície, tanto com
229 ponta diamantada quanto com jateamento, e abordagem convencional (PD-C e
230 JT-C) exibiram diferença significante quando comparados a suas contrapartes
231 autocondicionantes (PD-A e JT-A) ($p<0,05$). Não foram encontradas diferenças
232 significantes entre os grupos-controle com abordagens adesivas diferentes (C-
233 C e C-A) ($p>0,05$).

234

235 *Análise do padrão de falhas*

236 A frequência de distribuição das falhas para cada grupo, expressa em
237 percentagem do total de espécimes por grupo, está disposta na Figura 2. A
238 falha mais frequente em todos os grupos testados foi adesiva, seguido de mista
239 e coesiva em resina. Não houve falhas coesivas em dentina. O grupo C-C
240 demonstrou a maior frequência de falhas coesivas em resina.

241 A maior quantidade de falhas pré-teste foi observada no grupo C-A
242 ($n=4$), seguido de PD-C, PD-A e JT-A ($n=2$). Não foram observadas falhas pré-
243 teste nos grupos C-C e JT-C.

244

245 Tabela 2: Resultados de ANOVA a dois critérios com base nos dados do
246 estudo.

Fonte de variação	Soma dos quadrados	g _L	Quadrado médio	F	Valor p	Poder observado
Tratamento de Superfície	571.086	2	285.543	4.987	0.00828	0.80416
Abordagem Adesiva	1582.279	1	1582.279	27.634	0.00000	0.99943
Tratamento de Superfície *						
Abordagem Adesiva	104.946	2	52.473	0.916	0.40268	0.20544
Erro	6985.482	122	57.258			
Total corrigido	9280.259	127				

247

248

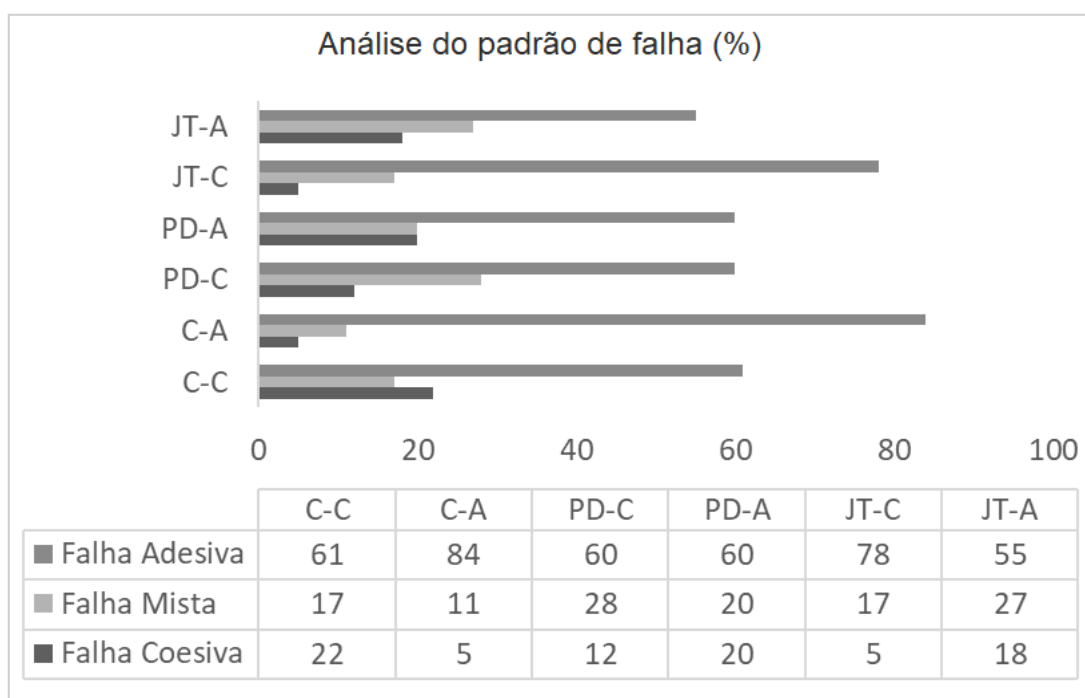
249

250 Tabela 3: Valores de resistência de união (MPa) dos grupos testados.

Grupo	n	Média	Desvio padrão	95% CI Limite inferior	95% CI Limite superior	Sig.
C-C	25	15,74	7,47	12,6592	18,8296	abc
C-A	23	10,88	5,69	8,4170	13,3430	cd
PD-C	24	21,89	9,50	17,8795	25,9047	a
PD-A	18	14,78	7,49	11,0523	18,5088	bc
JT-C	20	20,96	6,71	17,8254	24,1096	ab
JT-A	18	11,66	7,83	7,7672	15,5550	c

251

252



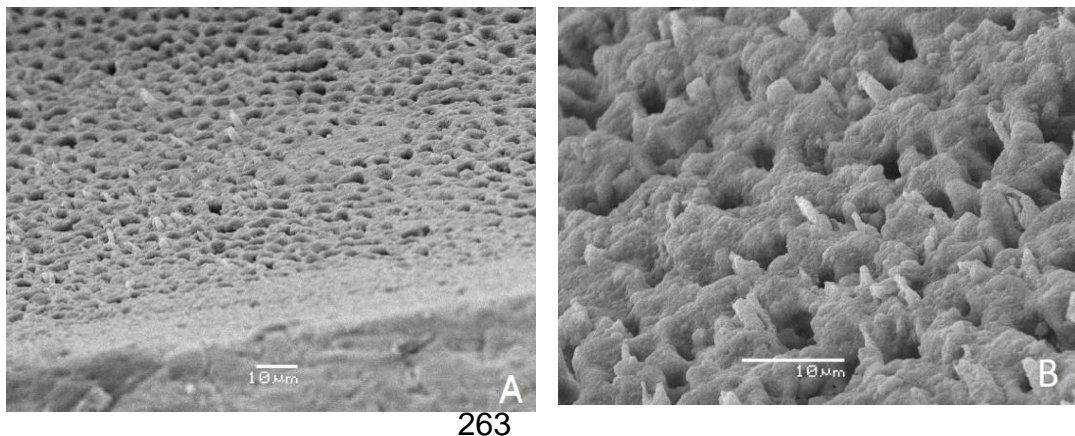
253 Figura 2: Frequência (%) do padrão de falha nos grupos testados.

254

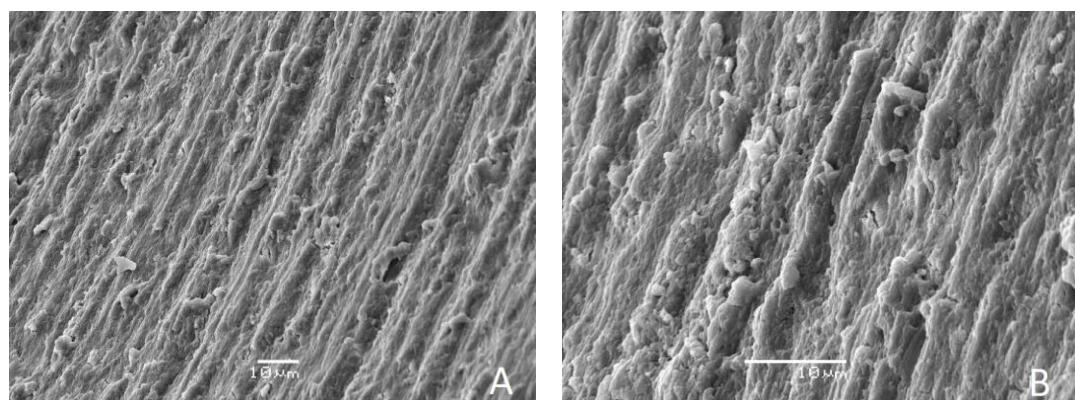
255 *Análise morfológica da dentina em MEV*

256 Túbulos dentinários e “casts” de dentina foram observados em
 257 espécimes de dentina sem tratamento (Figura 3). No entanto, não foram
 258 observados túbulos dentinários expostos na superfície abrasionada com ponta
 259 diamantada (Figura 4). Esse tratamento produziu uma superfície irregular e
 260 com aparência sulcada, devido ao efeito das partículas de diamante. O

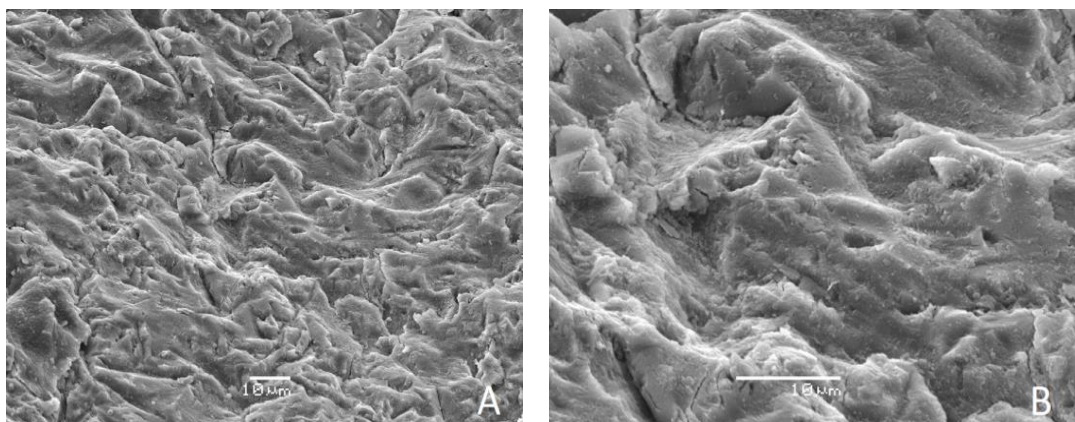
261 jateamento com partículas de óxido de alumínio produziu uma superfície mais
262 irregular, sem exposição de túbulos (Figura 5).



264 Figura 3: Aspecto morfológico da dentina sem tratamento (A: 1000x, B: 2500x).



266 Figura 4: Aspecto morfológico da dentina após abrasão com ponta diamantada
267 (A: 1000x, B: 2500x).



269 Figura 5: Aspecto morfológico da dentina após jateamento com partículas de
270 óxido de alumínio (A: 1000x, B: 2500x).

271

272 **Discussão**

273 Este estudo teve por objetivo a avaliação da resistência de união de uma
274 resina composta à dentina esclerótica de lesões cervicais não-cariosas,
275 utilizando diferentes tratamentos de superfície e abordagens adesivas. Ambas
276 hipóteses formuladas para o estudo foram rejeitadas. Diferenças significantes
277 na resistência de união à dentina foram observadas considerando os
278 tratamentos de superfície e as abordagens adesivas avaliadas.

279 Foi observada maior resistência de união quando o condicionamento
280 ácido foi realizado sobre uma superfície de dentina esclerótica previamente
281 tratada por meios mecânicos, em comparação à dentina intacta. Esse resultado
282 pode ser explicado pela composição e características estruturais desse
283 substrato quando comparado à dentina normal. A dentina esclerótica é
284 composta por 2 a 3 vezes mais minerais e possui menor conteúdo de matriz
285 orgânica²⁶, maior conteúdo de fosfato, alto grau de cristalinidade e colágeno
286 parcialmente desnaturado⁶. Além disso, o substrato esclerosado é mais ácido-
287 resistente e irregular, o que pode comprometer o processo de hibridização
288 necessário para a maioria dos tratamentos restauradores adesivos²⁷.

289 O sistema adesivo avaliado neste estudo foi do tipo universal ou
290 multimodal, podendo ser aplicado em diferentes abordagens, com
291 condicionamento ácido total, condicionamento seletivo do esmalte ou de modo
292 autocondicionante. Adicionalmente, esse adesivo contém o monômero 10-
293 MDP (10- metacriloxidecyl dihidrogenofosfato) em sua composição, que tem
294 se mostrado eficaz quando aplicado em substratos hipermineralizados,
295 demonstrando uma afinidade química com a hidroxiapatita²⁸. Ainda, demonstra
296 ser capaz de formar ligações iônicas fortes com o cálcio e hibridização
297 hidrolítica estável^{29,30}, mesmo na ausência de abrasão mecânica²⁴ ou
298 condicionamento ácido^{31,32}. Nossos resultados mostraram que a resistência de
299 união da resina composta à superfície esclerótica intacta não foi diferente na
300 presença de condicionamento ácido prévio, apesar das médias serem mais
301 altas na abordagem adesiva convencional.

302 Em dentina sadia, quando é realizado o condicionamento ácido total, a
303 profundidade de exposição da matriz orgânica pode ser exagerada, de modo

que os monômeros adesivos têm dificuldade em penetrar completamente, deixando áreas compostas por água e poucos monômeros na camada híbrida³³. A presença de cristais minerais na dentina esclerótica levam a uma redução no diâmetro dos túbulos dentinários, criando minerais complexos que podem obliterar os túbulos totalmente³⁴, dificultando a ação desmineralizante do ácido fosfórico¹¹. Há certa controvérsia na literatura quanto a isso. Enquanto alguns estudos reportam que a abordagem convencional é mais efetiva no tratamento de LCNCs^{22,35}, outros afirmam que ambas abordagens são similares em dentina esclerótica^{20,24,32}, o que também foi observado neste estudo. Além disso, uma revisão sistemática sobre a efetividade de sistemas adesivos no tratamento de LCNCs concluiu que não há evidência suficiente para determinar qual abordagem adesiva é mais efetiva no tratamento restaurador dessas lesões³⁶.

Neste estudo, o uso da ponta diamantada ou jateamento com óxido de alumínio não afetou a resistência de união, independentemente da abordagem adesiva aplicada. Outros estudos têm demonstrado que a abrasão com ponta diamantada na dentina esclerótica não aumenta a resistência de união final de uma restauração quando comparada a outros métodos ou grupos-controle sem tratamento^{28,37-40}. Uma possível explicação para isso consiste na formação de uma barreira composta por lascas de dentina e cristais escleróticos residuais que inviabiliza a difusão dos monômeros adesivos²⁴. Embora seja sugerido na literatura que o uso da ponta diamantada possa beneficiar a retenção de restaurações adesivas, a heterogeneidade dos estudos que abordam esse tema dificulta a determinação de um protocolo de tratamento para as LCNCs⁴⁰.

O tempo de duração e modo como a ponta diamantada é utilizada pode ter uma influência importante na retenção de materiais resinosos à dentina esclerótica. Neste estudo, o tempo de abrasão de superfície com a ponta diamantada foi de 15 segundos, baseado em um estudo prévio²³. No entanto, outros estudos descreveram a abrasão por “passadas” de ponta³⁷ ou até a remoção total da esclerose^{22,39}, enquanto outros não descreveram como a abrasão foi realizada^{15,41}, ou utilizaram um tempo reduzido de 5 segundos²⁴.

Diversas técnicas de preparação de cavidades foram introduzidas como uma alternativa à instrumentação convencional no início dos anos 2000. Nessa

337 época, um estudo reportou não haver diferença na resistência de união de
338 restaurações diretas em resina após jateamento de superfície e abrasão com
339 ponta diamantada, tanto para a abordagem convencional quanto
340 autocondicionante⁴². Recentemente, foi sugerido que o jateamento sobre a
341 dentina pode causar maior quantidade de defeitos na camada híbrida,
342 principalmente quando associado à abordagem autocondicionante, mesmo que
343 exista um número expressivo de *tags* resinosos⁴³. Estudos que avaliaram o
344 jateamento de superfície especificamente em dentina esclerótica são escassos,
345 mas há estudos que avaliaram seu efeito em lesões cervicais^{19,44}. No entanto,
346 esses estudos se baseiam em cavidades artificialmente produzidas, o que
347 significa que o substrato não é esclerótico, enquanto neste estudo as lesões
348 eram naturalmente escleróticas. Nossos resultados mostraram que a
349 resistência de união à dentina jateada foi similar à abrasionada com ponta
350 diamantada.

351 Baseando-se nesses resultados, quando se realizar um tratamento
352 superficial em LCNCs com dentina esclerótica, as pontas diamantadas podem
353 ser uma alternativa mais econômica, acessível e segura para uso intra-oral.
354 Quanto à abordagem adesiva, o condicionamento ácido pode ser mais efetivo
355 na remoção da *smear layer* produzida na instrumentação, viabilizando a
356 formação de camada híbrida. Contudo, há necessidade de estudos clínicos
357 para avaliar a efetividade de tratamentos de superfície e abordagens adesivas
358 na longevidade de restaurações em resina de LCNCs com dentina esclerótica.

359 **Conclusão**

360 A partir dos resultados foi possível concluir que o pré-tratamento da
361 dentina por si só não foi capaz de aumentar a resistência de união de uma
362 resina composta à dentina esclerótica de LCNCs. Porém, a utilização de
363 adesivo convencional se mostrou mais efetivo do que o autocondicionante
364 quando o adesivo universal foi aplicado nas condições de abrasionamento de
365 superfície.

366 Referências

- 367 1. Bartlett DW, & Shah P (2006) A critical review of non-carious cervical
368 (wear) lesions and the role of abfraction, erosion, and abrasion *J Dent*
369 **Res** **85(4)** 306–312.
- 370 2. Wood I, Jawad Z, Paisley C, & Brunton P (2008) Non-carious cervical
371 tooth surface loss: A literature review *J Dent* **36(10)** 759–766
- 372 3. Igarashi Y, Yoshida S, & Kanazawa E (2017) The prevalence and
373 morphological types of non-carious cervical lesions (NCCL) in a
374 contemporary sample of people *Odontology* **105(4)** 1–10, doi
375 10.1007/s10266-017-0300-y.
- 376 4. Borcic J, Anic I, Urek MM, & Ferreri S (2004) The prevalence of non-
377 carious cervical lesions in permanent dentition *J Oral Rehabil* **31(2)**
378 117–123.
- 379 5. Khan F, Young WG, Shahabi S, & Daley TJ (1999) Dental cervical
380 lesions associated with occlusal erosion and attrition *Aust Dent J*
381 **44(3)** 176–186.
- 382 6. Karan K, Yao X, Xu C, & Wang Y (2009) Chemical profile of the
383 dentin substrate in non-carious cervical lesions *Dent Mater* **25(10)**
384 1205–1212, doi 10.1016/j.dental.2009.04.006.
- 385 7. El-din AKN, Miller BH, & Griggs JA (2004) Resin bonding to sclerotic,
386 noncarious, cervical lesions. *Quintessence Int* **35(7)** 529–540.
- 387 8. Van Meerbeek B, Braem M, Lambrechts P, & Vanherle G (1994)
388 Morphological characterization of the interface between resin and
389 sclerotic dentine *J Dent* **22(3)** 141–146, doi 10.1016/0300-
390 5712(94)90197-X.
- 391 9. Carvalho TS, Lussi A (2017) Age-related morphological, histological
392 and functional changes in teeth. *J Oral Rehabil* **44(4)** 291-298, doi
393 10.1111/joor.12474.
- 394 10. Kusunoki M, Itoh K, Hisamitsu H, & Wakumoto S (2002) The efficacy
395 of dentine adhesive to sclerotic dentine. *J Dent* **30(2)** 91–97, doi
396 10.1016/S0300-5712(02)00003-9.
- 397 11. Georgescu A, Iovan G, Stoleriu S, Topoliceanu C, & Andrian S (2010)
398 Atomic force microscopy study regarding the influence of etching on

- 399 affected and sclerotic dentine. *Rom J Morphol Embryol* **51(2)** 299–
400 302.
- 401 12. Daley TJ, Harbrow DJ, Kahler B, & Young WG (2009) The cervical
402 wedge-shaped lesion in teeth: A light and electron microscopic study.
403 *Aust Dent J* **54(3)** 212–219, doi 10.1111/j.1834-7819.2009.01121.x.
- 404 13. Yoshiyama M, Sano H, Ebisu S, Tagami J, Ciucchi B, Carvalho RM,
405 Johnson MH & Pashley DH (1996), Regional strengths of bonding
406 agents to cervical sclerotic root dentin. *J Dent Res* **75(6)** 1404-1413,
407 doi 10.1177/00220345960750061201.
- 408 14. Mena-Serrano AP, Garcia EJ, Perez MM, Martins GC, Grande RHM,
409 Loguercio AD, & Reis A (2013) Effect of the application time of
410 phosphoric acid and self-etch adhesive systems to sclerotic dentin. *J
411 Appl Oral Sci* **21(2)** 196–202, doi 10.1590/1678-7757201302136.
- 412 15. van Dijken JW (2000) Clinical evaluation of three adhesive systems in
413 class V non-carious lesions. *Dent Mater* **16** 285–291, doi
414 10.1016/S0109-5641(00)00019-1.
- 415 16. Farias DCS, Lopes GC, & Baratieri LN (2015) Two-year clinical
416 performance of a two-step etch-and-rinse adhesive in non-carious
417 cervical lesions *Clin Oral Investig* **19(8)** 1867–1874, doi
418 10.1007/s00784-015-1399-2.
- 419 17. Lopes GC, Vieira LCC, Monteiro S, Caldeira de Andrada MA, &
420 Baratieri CM (2003) Dentin bonding: effect of degree of mineralization
421 and acid etching time. *Oper Dent* **28(4)** 429–39.
- 422 18. Zimmerli B, De Munck J, Lussi A, Lambrechts P, & Van Meerbeek B
423 (2012) Long-term bonding to eroded dentin requires superficial bur
424 preparation *Clin Oral Investig* **16(5)** 1451–1461, doi 10.1007/s00784-
425 011-0650-8.
- 426 19. Atoui JA, Chinelatti MA, Palma-Dibb RG, & Corona SAM (2010)
427 Microleakage in conservative cavities varying the preparation method
428 and surface treatment. *J Appl Oral Sci* **18(4)** 421–425, doi
429 10.1590/S1678-77572010000400017.
- 430 20. Tay FR, & Pashley DH (2004) Resin bonding to cervical sclerotic
431 dentin: A review *J Dent* **32(3)** 173–196, doi
432 10.1016/j.jdent.2003.10.009.

- 433 21.Tay FR, Kwong SM, Itthagaran a, King NM, Yip HK, Moulding KM, &
434 Pashley DH (2000) Bonding of a self-etching primer to non-carious
435 cervical sclerotic dentin: interfacial ultrastructure and microtensile
436 bond strength evaluation. *J Adhes Dent* **2(1)** 9–28.
- 437 22.Eliguzeloglu E, Omurlu H, Eskitascioglu G, & Belli S (2008) Effect of
438 surface treatments and different adhesives on the hybrid layer
439 thickness of non-carious cervical lesions. *Oper Dent* **33(3)** 338–345,
440 doi 10.2341/07-96.
- 441 23.Camargo MA, Roda MI, Marques MM, & de Cara AA (2008) Micro-
442 tensile bond strength to bovine sclerotic dentine: Influence of surface
443 treatment *J Dent* **36(11)** 922–927, doi 10.1016/j.jdent.2008.07.009.
- 444 24.Loguercio AD, Luque-martinez IV, Fuentes S, Reis A, & Muñoz MA
445 (2017) Effect of dentin roughness on the adhesive performance in
446 non-carious cervical lesions: a double-blind randomized clinical trial *J*
447 *Dent* **69** 60-69, doi 10.1016/J.JDENT.2017.09.011.
- 448 25.Heintze SD, Ruffieux C, & Rousson V (2010) Clinical performance of
449 cervical restorations - A meta-analysis *Dent Mater* **26(10)** 993–1000,
450 doi 10.1016/j.dental.2010.06.003.
- 451 26.Xu C, Karan K, Yao X, & Wang Y (2009) Molecular structural analysis
452 of noncarious cervical sclerotic dentin using Raman spectroscopy *J*
453 *Raman Spectrosc* **40(12)** 1780–1785, doi 10.1002/jrs.2320.
- 454 27.Karan K, Yao X, Xu C, & Wang Y (2012) Chemical characterization of
455 etched dentin in non-carious cervical lesions. *J Adhes Dent* **14(4)**
456 315–22, doi 10.3290/j.jad.a22766.
- 457 28.Oliveira B, Ulbaldini A, Sato F, Baesso M, Bento A, Andrade L, Lima
458 S, & Pascotto R (2017) Chemical Interaction Analysis of an Adhesive
459 Containing 10-Methacryloyloxydecyl Dihydrogen Phosphate (10-
460 MDP) With the Dentin in Noncarious Cervical Lesions *Oper Dent*
461 **42(4)** 357–366, doi 10.2341/16-062-L.
- 462 29.Yoshida Y, Nagakane K, Fukuda R, Nakayama Y, Okazaki M,
463 Shintani H, Inoue S, Tagawa Y, Suzuki K, De Munck J, & Van
464 Meerbeek B (2004) Comparative study on adhesive performance of
465 functional monomers *J Dent Res* **83(6)** 454–458, doi
466 10.1177/154405910408300604.

- 467 30. Van Landuyt KL, Snaauwaert J, De Munck J, Peumans M, Yoshida Y,
468 Poitevin A, Coutinho E, Suzuki K, Lambrechts P, & Van Meerbeek B
469 (2007) Systematic review of the chemical composition of
470 contemporary dental adhesives *Biomaterials* **28(26)** 3757–3785, doi
471 10.1016/j.biomaterials.2007.04.044.
- 472 31. Perdigão J, Kose C, Mena-Serrano AP, De Paula EA, Tay LY, Reis
473 AD (2014) A new universal simplified adhesive: 18-month clinical
474 evaluation *Oper Dent* **39(2)** 113-127, doi 10.2341/13-045-C.
- 475 32. Lawson NC, Robles A, Fu C-C, Lin CP, Sawlani K, & Burgess JO
476 (2015) Two-year clinical trial of a universal adhesive in total-etch and
477 self-etch mode in non-carious cervical lesions. *J Dent* **43(10)** 1229–
478 34, doi 10.1016/j.jdent.2015.07.009.
- 479 33. Sano H, Shono T, Takatsu T, & Hosoda H (1994) Microporous Dentin
480 Zone beneath Resin-impregnated Layer *Oper Dent* **80(2)** 59–64.
- 481 34. Tan JG, Zhou LJ, Feng M, Feng HL (2005) Ultrastructural study of a
482 self-etching adhesive to sclerotic dentin in non-carious cervical
483 lesions, *Chinese J Stomatol* **40(3)** 230-232.
- 484 35. Ritter A, Heymann H, Swift Jr E, Sturdevant J, & Wilder A (2008)
485 Clinical Evaluation of an All-in-one Adhesive in Non-Carious Cervical
486 Lesions with Different Degrees of Dentin Sclerosis Clinical Research
487 *Oper Dent* **33(4)** 370–378, doi 10.2341/07-128.
- 488 36. Chee B, Rickman LJ, & Satterthwaite JD (2012) Adhesives for the
489 restoration of non-carious cervical lesions: A systematic review *J Dent*
490 **40(6)** 443–452, doi 10.1016/j.jdent.2012.02.007.
- 491 37. Luque-Martinez I, Mena-Serrano A, Muñoz M, Hass V, Reis A,
492 Loguercio AD (2013) Effect of Bur Roughness on Bond to Sclerotic
493 Dentin With Self-etch Adhesive Systems *Oper Dent* **38(1)** 39–47, doi
494 10.2341/11-390-L.
- 495 38. Eliguzeloglu Dalkilic E, & Omurlu H (2012) Two-year clinical
496 evaluation of three adhesive systems in non-carious cervical lesions.
497 *J Appl Oral Sci* **20(2)** 192–9.
- 498 39. Semeraro S, Mezzanzanica D, Spreafico D, Gagliani M, Re D,
499 Tanaka T, Sidhu SK, & Sano H (2006) Effect of Different Bur Grinding
500 on the Bond Strength of Self-etching Adhesives *Oper Dent* **31(3)**

- 501 317–323, doi 10.2341/04-171.
- 502 40.Rocha A, Da Rosa W, Cocco A, Da Silva A, Piva E, & Lund R-G
503 (2018) Influence of Surface Treatment on Composite Adhesion in
504 Noncarious Cervical Lesions: Systematic Review and Meta-analysis
505 *Oper Dent* 43(15) 508–519, doi 10.2341/17-086-L.
- 506 41.Koase K, Inoue S, Noda M, Tanaka T, Kawamoto C, Takahashi A,
507 Nakaoki Y, & Sano H (2004) Effect of bur-cut dentin on bond strength
508 using two all-in-one and one two-step adhesive systems. *J Adhes
509 Dent* 6(2) 97–104.
- 510 42.Meerbeek B Van, Munck JD, Lambrechts D, & Landuyt M Van (2003)
511 Microtensile Bond Strengths of an Etch&Rinse and Self-Etch
512 Adhesive to Enamel and Dentin as a Function of Surface Treatment
513 *Oper Dent* 28(5) 647–660, doi 10.1016/j.jdent.2007.09.008.
- 514 43.Freeman R, Varanasi S, Meyers IA, & Symons AL (2012) Effect of air
515 abrasion and thermocycling on resin adaptation and shear bond
516 strength to dentin for an etch-and-rinse and self-etch resin adhesive
517 *Dent Mater J* 31(2) 180–188, doi 10.4012/dmj.2011-146.
- 518 44.Liu K, Zhang X, & Wei X (2016) [Influence of different acid etching
519 modes on bond strengths to non-carious sclerotic dentin]. *Shanghai
520 Kou Qiang Yi Xue* 25(1) 38–41.

521

522 **ARTICLE IN ENGLISH**

523 **Title Page**

524 **Title:** Effects of surface treatment and adhesive strategy on the
525 microtensile bond strength of sclerotic dentin of non-carious cervical lesions

526

527 **Running Title:** Bond strength in non-carious cervical lesions

528

529 **Clinical Relevance:** Bur-abrasion when associated to etch-and-rinse
530 method can increase bond strength of a universal adhesive to the sclerotic dentin
531 of non-carious cervical lesions.

532

533 **Authors:**

534 Isabela da Nóbrega Jannini, D.D.S, M.S.D candidate

535 Graduate Program in Dentistry, School of Life Sciences, Pontifical Catholic
536 University of Paraná, Curitiba, PR, Brazil.

537

538 Evelise Machado de Souza, D.D.S, M.S.D, Ph.D

539 Graduate Program in Dentistry, School of Life Sciences, Pontifical Catholic
540 University of Paraná, Curitiba, PR, Brazil.

541

542

543

544

545

546 **Abstract**

547 OBJECTIVE: To evaluate the bond strength of a resin composite to the sclerotic
548 dentin of non-carious cervical lesions (NCCLs) subjected to different surface
549 treatments and adhesive strategies. MATERIALS and METHOD: Thirty-six
550 premolars with sclerotic NCCLs were selected and randomly distributed into
551 groups according to the dentin pre-treatment: C (control group without treatment),
552 DB (abrasion with diamond burs), and AA (air abrasion with aluminium oxide
553 particles). Based on the adhesive strategy used with the universal adhesive, each
554 group was subdivided into either T (total etch) or S (self-etching) (n=6). The teeth
555 were restored with a nanofilled composite and stored in water at 37°C for 24 h.
556 The teeth were sectioned in micro-specimens (1 mm²) and stressed in tension
557 until failure (μ TBS) in a universal testing machine (0.5 mm/min). The data
558 obtained were assessed by two-way ANOVA and Tukey's HSD test ($\alpha = 5\%$).
559 RESULTS: The DB-T and AA-T groups showed significant differences compared
560 with the DB-S and AA-S groups, respectively ($p > 0.05$). The results of C-T were
561 not statistically significant when compared to those of all the other groups ($p>.05$).
562 CONCLUSION: Surface treatments alone were not capable of increasing bond
563 strength in NCCLs. The total-etch approach was more effective than the self-
564 etching when surface treatment was applied in sclerotic dentin.

565

566 *Keywords:* Non-carious cervical lesions; sclerotic dentin; microtensile bond
567 strength; surface treatment; universal adhesives.

568

569 **Introduction**

570 Non-carious cervical lesions (NCCLs) are characterized by an irreversible
571 loss of mineral structure, without bacterial involvement, located in the
572 cementoenamel junction, leading to exposure of the underlying dentin¹.

573 The incidence of NCCLs is increasing with the population aging and teeth
574 retention for life². A recent *in vitro* study examining 6541 extracted human teeth
575 reported the presence of NCCLs in 38.7% of teeth, 41.6% maxillary and 36%
576 mandibular teeth, mostly canines and first premolars³. According to a clinical
577 study, canines are affected in 23% to 25% of cases, first premolars are affected in
578 23% to 34% of cases, and second premolars are affected in 25% to 31% of the
579 cases⁴.

580 There are several risk factors for NCCLs with variations in intensity,
581 duration, and frequency, both isolated or combined, which characterizes the
582 condition as multifactorial⁵. Identification of the etiology of an NCCL is an
583 important factor in the prevention of new lesions development, interruption of
584 progression of a pre-existing lesion, and determination of the appropriate
585 treatment.

586 Restorative treatment of NCCLs is considered a challenging procedure
587 because of the non-retentive nature of the cavity and the margin location
588 frequently at a subgingival level, which is an area that is extremely susceptible to
589 blood and crevicular fluid contamination due to difficult isolation⁵. Moreover, the
590 multifactorial etiology of NCCLs seems to influence the integrity of the dentin
591 substrate⁶. Histomorphological changes are common, such as dentin sclerosis^{7,8},
592 which is characterized by a reduction in the lumen size of dentin tubules⁹ due to
593 the deposition of inorganic components¹⁰, in response to chronic stimuli¹¹. A direct
594 consequence of this is that the dentin found in the NCCLs may demonstrate total
595 obliteration of dentin tubules either at the ceiling or the floor of the lesion¹². The
596 reduced permeability of this substrate jeopardizes bonding because of the limited
597 infiltration of resinous monomers into the dentin, hindering the formation of the
598 hybrid layer¹³⁻¹⁵.

599 Changes in the conventional protocol for adhesive restorations have been
600 proposed when sclerotic dentin is present, including increasing the acid etching
601 time^{14,16,17}, abrasion with diamond burs^{15,18}, and air abrasion with aluminum oxide
602 particles¹⁹, both aiming to increase mechanical retention. However, previous

603 studies have reported that increasing the acid etching time does not result in an
604 increase of the bond strength of sclerotic dentin or NCCLs *in vitro*¹⁴ or *in vivo*¹⁶.
605 Studies investigating the adhesive interface characteristics have shown that acid
606 etching in sclerotic dentin is not uniform, culminating in a hybrid layer with
607 significantly varied thickness²⁰, with the maintenance of dentin casts and the
608 presence of short resin tags or even their absence^{16, 21}.

609 Concerned about this possibility, some studies have evaluated a self-etch
610 approach in sclerotic dentin^{22,23} and found different results regarding the bond
611 strength. While one clinical²² and one in *vitro* study²³ reported similar performance
612 between self and total-etch approaches, other studies presented better results
613 when using the etch-and-rinse method^{24,25}.

614 The new universal adhesives can be used following both strategies and are
615 expected to present satisfactory results even when applied in the sclerotic surface
616 of non-carious cervical lesions²⁶. However, when a self-etch approach applied to
617 sclerotic dentin follows a previous diamond bur preparation, a decline in the bond
618 strength may occur²⁷.

619 The controversy involved in the effect of diamond burs on sclerotic dentin
620 highlights the need for more scientific evidence of the role of mechanical abrasion
621 as a pretreatment of NCCLs. While one study reported an increased thickness of
622 the hybrid layer following the use of total-etch and self-etching adhesives when
623 the superficial layer of dentin was removed with a diamond bur²⁴, another reported
624 that abrasion with different diamond burs did not increase the bond strength of
625 sclerotic dentin in bovine teeth²⁸. Nevertheless, randomized clinical studies
626 revealed that abrasion using diamond burs on sclerotic dentin in NCCLs was
627 incapable of increasing the retention of the restorations, regardless of the
628 adhesive employed^{15,29}. However, a metanalysis concluded that the clinical
629 success of cervical restorations is significantly influenced by the adhesive and that
630 the enamel and dentin surfaces must be subjected to some type of abrasion
631 before restoration³⁰.

632 The literature is scarce about the use of air abrasion with aluminium oxide
633 particles as dentin pretreatment^{18,19}, and there are no reports on the effectiveness
634 of air abrasion on the bond strength of composites to sclerotic dentin. Hence,
635 more studies must be conducted to evaluate the effectiveness of different

636 pretreatments to increase the longevity of adhesive restorative treatments of
637 NCCLs.

638 Therefore, the objective of this study was to evaluate the bond strength of a
639 resin composite to sclerotic dentin of NCCLs using different mechanical
640 pretreatments and bonding strategies using a universal adhesive. The null
641 hypotheses tested were if: 1) there would be no differences between the
642 pretreatments, and if 2) there would be no differences between the adhesive
643 strategies on the composite bond strength to sclerotic dentin of NCCLs.

644

645 **Materials and Method**

646 *Selection of Teeth*

647 Thirty-six human premolars and canines with sclerotic NCCLs were
648 obtained from the Tooth Bank after the research proposal was approved by the
649 local Research Ethics Committee (No. 2.142.723). The teeth were stored in 0.5%
650 chloramine-T at 4°C for up to 6 months before use. Teeth with caries, artificially
651 produced cervical defects or incomplete root formations were excluded from the
652 study. All of the included teeth were cleaned in an ultrasonic bath for 10 minutes
653 before preparation. The roots of selected teeth were embedded in acrylic resin
654 and they were randomly divided into 6 groups (n=6).

655

656 *Specimen Preparation*

657 Acid etching was performed with 37% phosphoric acid (Condac 37, FGM
658 Dental Products, Joinville, SC, Brasil) for 15 seconds in control group C-T and
659 rinsed by air/water spray for 20 seconds. Excess of water was removed with an
660 absorbent paper and the adhesive was actively applied to dentin for 20 seconds
661 (Scotchbond Universal, 3M ESPE Dental Products, St. Paul, MN), followed by an
662 indirect blast of air for 5 seconds. Teeth in the C-S control group were subjected
663 to active application of the adhesive for 20 seconds, without prior acid etching,
664 followed by an indirect blast of air for 5 seconds.

665 The dentin surface was slightly abraded with a round diamond bur
666 (801.11.012 HP Medium Round Diamond, Brasseler USA® Dental, Savannah,
667 GA), using a high speed handpiece, under refrigeration for 15 seconds in teeth of

668 DB groups. Teeth of AA groups had their dentin air-abraded with 50 µm
669 aluminium oxide particles at a distance of 10 mm, (Bio-Art Dental Equipments
670 Ltd., São Carlos, SP, Brazil) under an 80-psi pressure for 15 seconds. The
671 adhesive was applied as previously described for the control groups.

672 For all groups, the adhesive was cured for 20 s using a light curing unit
673 (Elipar Free Light 2, 3M ESPE Dental Products, St. Paul, MN) with a radiance of
674 800 mW/cm². The cavities were restored with a nanofilled composite resin (Filtek
675 Supreme XT, A2 body, 3M ESPE Dental Products, St. Paul, MN) applied in
676 increments forming a 5 mm-thickness block. Each increment was light-cured for
677 20 s. The specimens were then stored in water at 37°C for 24 hours.

678 Figure 1 illustrates the methodological stages of the study.

679

680 Table 1: Description of the groups included in the study.

Group	Pretreatment	Adhesive Approach	Mode of Application
C-T	-		Acid etching for 15 s, air/water rinsing for 20 s, absorbent paper, active application of the adhesive for 20 s followed by indirect blast of air for 5 s
DB-T	Diamond bur	Total-etching	
AA-T	Al ₂ O ₃ air abrasion		
C-S	-		Active application of the adhesive for 20 s followed by indirect blast of air for 5 s
DB-S	Diamond bur	Self-etching	
AA-S	Al ₂ O ₃ air abrasion		

681

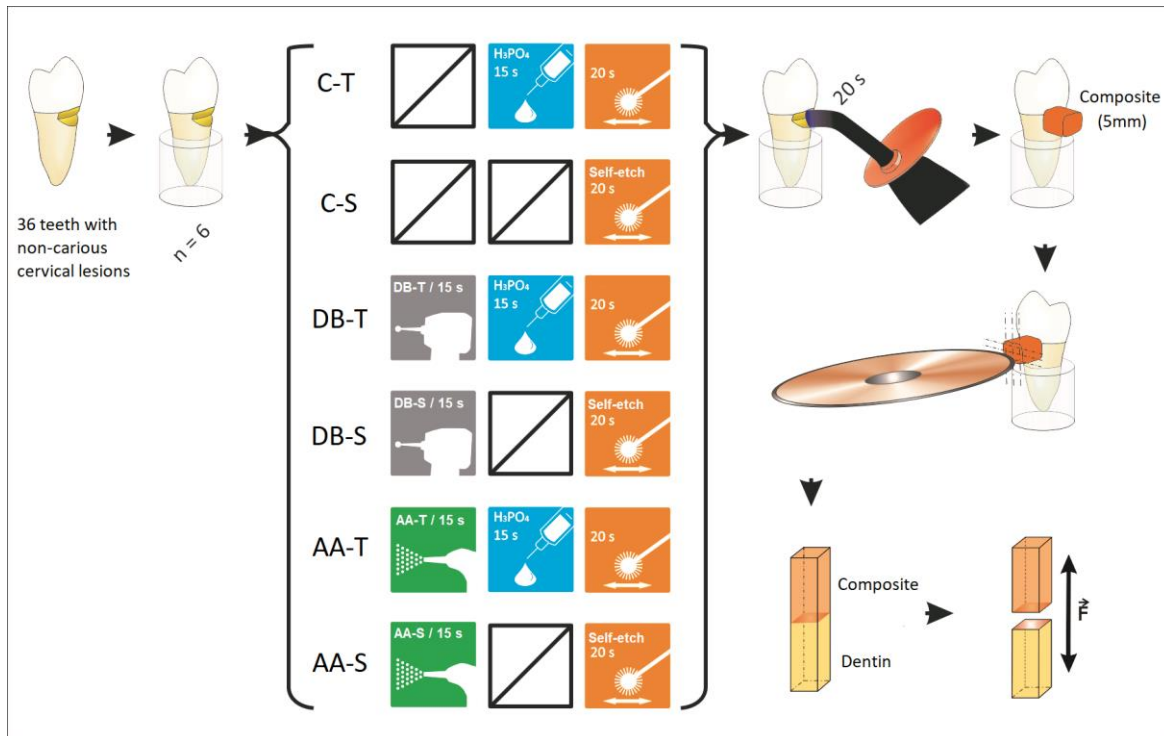
682 *Microtensile Bond Strength Testing*

683 The specimens were sectioned at the x and y-axes with a diamond saw
684 (Extec Corp., Enfield, CT) in a precision cutting machine (Isomet 1000, Buehler,
685 Lake Bluff, IL) to obtain micro-specimens with a transverse bonding area of 1.0
686 mm². The dimensions of the specimens were measured with a digital caliper
687 (Absolute Digimatic Caliper, Mitutoyo Corp., Kawasaki, Japan). The specimens
688 were stored in water at 37°C for 72 hours.

689 The specimens were fixed into a microtensile testing device (OD03d,
690 Odeme Biotechnology Ltd., Joaçaba, SC, Brasil) with cyanoacrylate glue (Slo-Zap
691 Thick, Super-Glue Corp., Ontario, CA). The bond strength test was carried out in
692 a universal testing machine (DL2000, Instron Corp., Grove City, PA) with a

693 crosshead speed of 0.5 mm/min. The results in N were converted to MPa based
694 on the cross-sectional area of each specimen.

695



696
697 Figure 1: Schematic illustration of the study methodology with descriptions of the
698 controls and experimental groups and specimen preparation until the microtensile
699 bond strength test.

700

701 *Failure Mode Analysis*

702 The failure mode of each specimen was assessed under an optical
703 microscope with a magnification of 40x and classified as: cohesive failure in the
704 composite resin, cohesive failure in the dentin, adhesive failure, or mixed failure
705 (involving more than two structures).

706

707 *Dentin Morphology Analysis by Scanning Electron Microscope (SEM)*

708 Additional specimens were prepared from non-treated and treated teeth
709 with NCCLs subjected to abrasion with a diamond bur and air abrasion with
710 aluminum oxide particles to provide morphological analysis of the dentin surface.
711 After pretreatment, the specimens were cleaned in an ultrasonic bath with distilled
712 water for 15 minutes, kept in a vacuum desiccator with silica for seven days, and
713 metalized with the Au-Pd alloy before the observation of the dentin surface

714 morphology by a scanning electron microscope (Vega II SEM, TESCAN Brno,
715 s.r.o., Kohoutovice, Czech Republic).

716

717 *Statistical Analysis of the Data*

718 Each tooth was considered a sampling unit and the mean values for
719 specimens from the same tooth were used to calculate the mean microtensile
720 bond strength for each group. The data obtained were analyzed for normality with
721 the Kolmogorov-Smirnov test and homogeneity of variance with Levene's test.
722 Two-way ANOVA was used with the Tukey HSD test to identify the differences
723 between the groups ($p<0.05$). A significance level of 5% was used for all the tests.
724 The data were analyzed in SPSS 24.0 (IBM Software, New York, NY, USA).

725 **Results**

726 *Microtensile bond strength*

727 Table 2 demonstrates the results obtained by two-way ANOVA. Significant
728 differences were detected for "surface treatment" ($p=0.008$) and "adhesive
729 strategy" ($p=0.000$). However, the interaction effect between the two was not
730 significant ($p=0.040$).

731 The mean microtensile bond strength, standard deviation, confidence
732 interval, and number of specimens tested for each group are shown in Table 3.
733 There were no significant differences between the groups in which the universal
734 adhesive was applied using the total etch ($p>0.05$) and between the self-etch
735 approaches ($p>0.05$).

736 The groups with surface pretreatment and subjected to the total-tech
737 strategy (DB-T and AA-T) exhibited significant differences when compared with
738 their counterparts with the self-etching approach (DB-S and AA-S) ($p<0.05$).
739 However, there was no significant difference between the control groups with
740 different bonding strategies (C-T and C-S) ($p>0.05$).

741

742 *Failure Mode Analysis*

743 The frequency distributions of the failure modes for each group expressed
744 as a percentage of the total number of specimens in each group are shown in
745 Figure 2. The most frequent type of failure in all the tested groups was adhesive,
746 followed by mixed and cohesive in composite. There were no cohesive failures in

747 dentin. The C-T group demonstrated the highest frequency of cohesive in
748 composite failures. The largest amount of pre-testing failures was observed in the
749 C-S group ($n = 4$), followed by the DB-T, DB-S, and AA-S groups ($n = 2$). No pre-
750 testing failures were observed in the C-T and AA-T groups.

751

752 Table 2: Results of the two-way ANOVA based on the study data.

Source of variation	Sum of the squares	gL	Average square	F	p-Value	Observed power
Surface Treatment	571.086	2	285.543	4.987	0.00828	0.80416
Adhesive Approach	1582.279	1	1582.279	27.634	0.00000	0.99943
Adhesive Approach Treatment *	104.946	2	52.473	0.916	0.40268	0.20544
Error	6985.482	122	57.258			
Corrected total	9280.259	127				

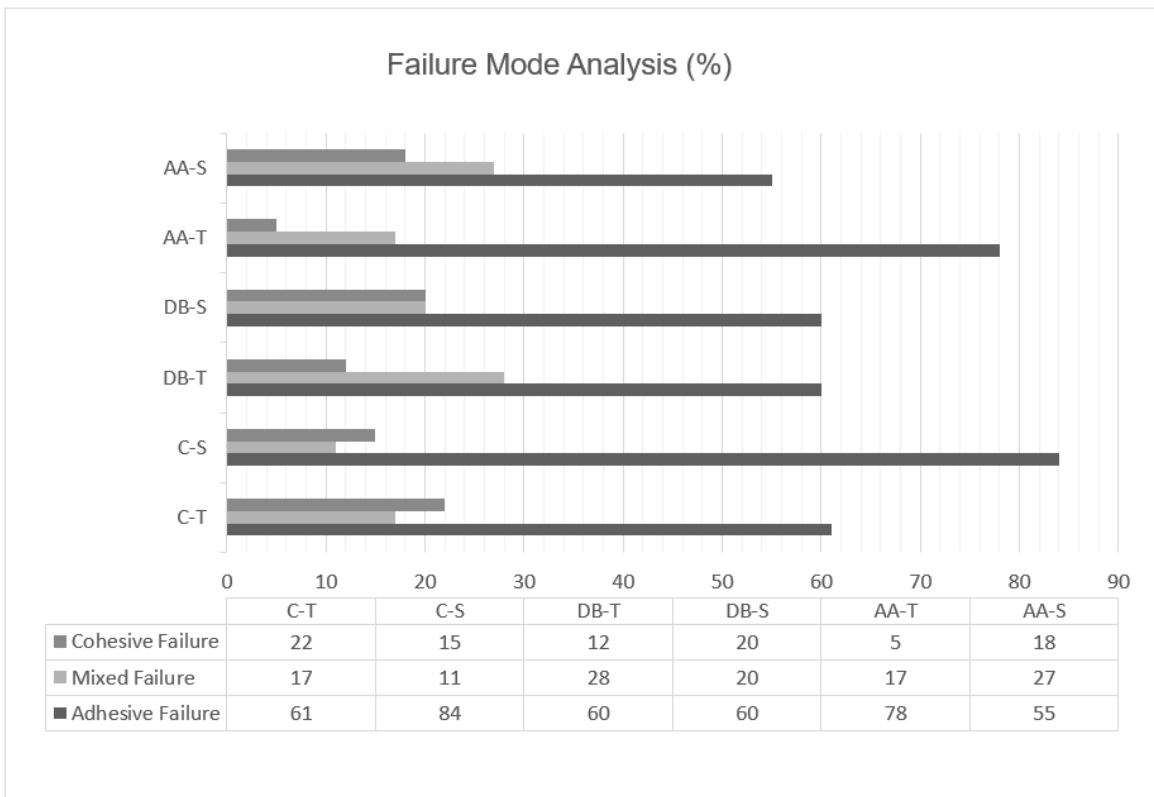
753

754 Table 3: Results of microtensile bond strength (MPa) for the tested groups:

Group	n	Mean	SD	95% CI Lower Limit	95% CI Upper Limit	Sig.
C-T	25	15.74	7.47	12.6592	18.8296	abc
C-S	23	10.88	5.69	8.4170	13.3430	cd
DB-T	24	21.89	9.50	17.8795	25.9047	a
DB-S	18	14.78	7.49	11.0523	18.5088	bc
AA-T	20	20.96	6.71	17.8254	24.1096	ab
AA-S	18	11.66	7.83	7.7672	15.5550	c

755

756



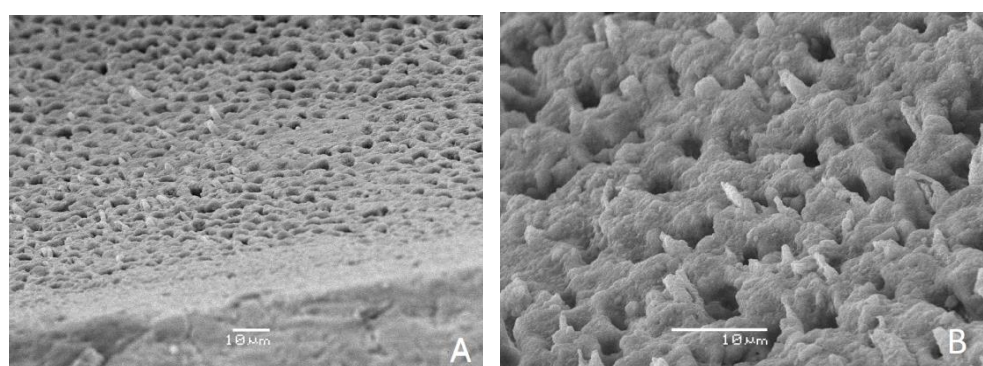
757

758 Figure 2: Frequency (%) of the failure mode for the tested groups.

759

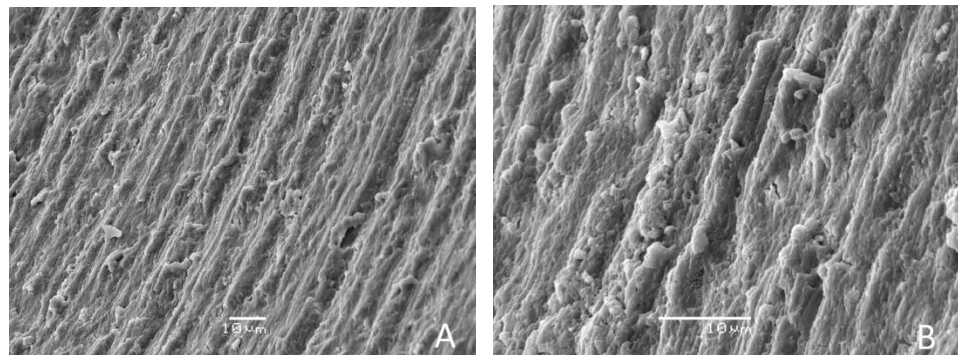
760 *Morphological Analysis of Dentin by SEM*

761 Dentin tubules and dentin casts were observed on non-treated dentin
 762 specimens (Figure 3). Conversely, exposed dentin tubules were not observed on
 763 the dentin surface abraded with a diamond bur (Figure 4). This treatment
 764 produced a surface with an irregular and grooved appearance due to the effect of
 765 the diamond particles of the bur. Air abrasion with aluminum oxide particles
 766 produced a more irregular surface, without the exposure of dentin tubules (Figure
 767 5).



768

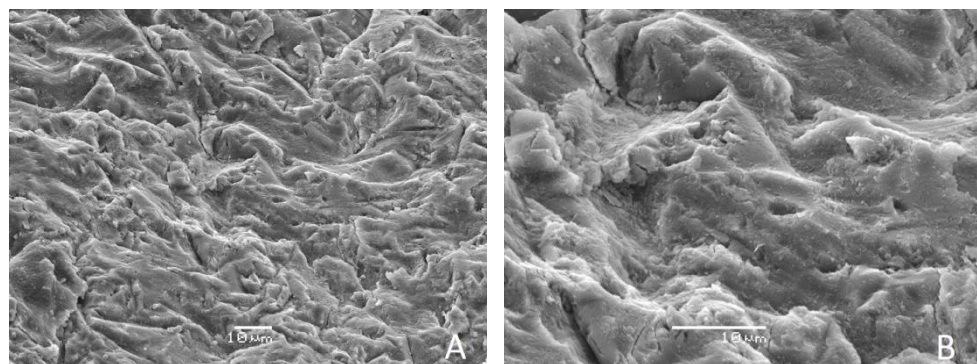
769 Figure 3: Morphological aspect of dentin without treatment (A: 1000x, B:
 770 2500x).



771

772 Figure 4: Morphological aspect of dentin after treatment with diamond bur

773 (A: 1000x, B: 2500x).



774

775 Figure 5: Morphological aspect of dentin after sandblasting with aluminum
776 oxide particles (A: 1000x, B: 2500x).

777

778 Discussion

779 The study focused on the evaluation of the bond strength of a resin
780 composite to sclerotic dentin of non-carious cervical lesions using different
781 surface pretreatments and bonding strategies. Both hypotheses that were
782 formulated for the study were rejected. Significant differences in dentin bond
783 strength were observed considering the surface treatments and the bonding
784 strategies that were investigated.

785 In this study, a higher bond strength was observed when acid etching and
786 surface treatments were used, compared with the intact sclerotic dentin. This
787 result may be explained by the composition and structure characteristics of this
788 substrate when compared to normal dentin. Sclerotic dentin has two to three
789 times more mineral content and a reduction in the organic content³¹, a higher
790 phosphate content, a higher degree of crystallinity and partially denatured
791 collagen⁶. Furthermore, the sclerotic substrate is more irregular and acid-resistant,

792 which might hinder the hybridization process that is necessary for most of the
793 adhesive restorative treatments³².

794 The universal adhesive system that was evaluated in this study can be
795 applied using different approaches, such as total-etching, enamel selective
796 etching, or self-etching. However, our results show that the bond strength mean
797 values were slightly higher for the total-etch approach, which is probably due to
798 the micro retention promoted by the phosphoric acid .

799 When applied to sound dentin, the phosphoric acid can expose the organic
800 matrix in such exacerbated depth to the point where the penetration of the resin
801 monomers becomes difficult, with areas that are filled with water and a few
802 monomers throughout the hybrid layers³³. However, in sclerotic dentin, the
803 presence of crystals leads to a reduction in the diameter of the dentin tubules,
804 creating complex minerals that may obliterate the tubules completely³⁴, limiting the
805 demineralizing action of the phosphoric acid¹¹. Although some studies report that
806 the total-etch approach is similar to self-etching in sclerotic dentin^{20,29,35}, others
807 have suggested that total-etch adhesive systems are more effective in the
808 treatment of NCCLs^{24,25}, which was also observed in this study. Moreover, a
809 literature review on the effectiveness of adhesive systems on the treatment of
810 NCCLs concluded that there is insufficient evidence to determine which adhesive
811 approach is more effective for the restorative treatment of NCCLs lesions³⁶.

812 In this study, the use of diamond burs or air abrasion alone did not affect
813 bond strength. Other studies have demonstrated that the use of diamond burs on
814 sclerotic dentin did not increase the final bond strength of the restoration
815 compared to other methods or non-treated control groups^{27,37-39}. One explanation
816 for this may rely on the formation of a barrier composed by dentin fragments and
817 residual sclerotic crystals, which could have prevented the diffusion of the
818 adhesive and hinder the formation of chemical bonds with the monomers²⁹. A
819 recent meta-analysis reported that, although the literature suggests that the use of
820 diamond burs may be favorable for retention of adhesive restorations, the
821 heterogeneity of the studies that approach this topic makes it difficult to establish
822 its use as a protocol for the treatment of NCCLs³⁹.

823 The duration time and mode which diamond bur is used may play an
824 important role in the retention of composites to sclerotic dentin. In this study, the

825 time of surface abrasion of sclerotic dentin with the diamond bur was 15 seconds.
826 This duration time is in accordance to a previous *in vitro* study²⁸, but in which the
827 dentin evaluated was occlusal and bovine. A recent study that used an abrasion
828 time of 5 seconds reported that there was no increase in the retention of resin-
829 based restorations after the use of diamond burs²⁹, which highlights the
830 controversy of results present in literature and the importance of specifying the
831 duration of the abrasion. Other studies have described the abrasion by strokes²⁸
832 or until the total removal of sclerosis^{24,38}, while some do not include a description
833 of how abrasion was performed^{15,40}, which can lead to method bias. More clinical
834 studies using an extended abrasion time are necessary.

835 In the early 2000's, a study reported that there was no difference in bond
836 strength of direct resin-based composites following air abrasion or diamond bur
837 preparation with either total-etch or self-etching adhesives⁴¹. More recently, it was
838 stated that dentin air abrasion might promote a higher number of defects in the
839 hybrid layer, even with an expressive amount of resin tags, mainly when
840 associated with a self-etching adhesive⁴². Reports on the application of air
841 abrasion particularly to sclerotic dentin are scarce, but there are studies that have
842 assessed its effect on cervical lesions^{19,43}. However, they addressed artificially
843 produced cavities, meaning that the substrate was not sclerotic, while in this
844 research, the lesions were naturally sclerotic. Our results showed that bond
845 strength to the air-abraded dentin was similar to that abraded with a diamond bur.

846 Based on these results, when clinically performing a superficial treatment in
847 cases of NCCLs with sclerotic dentin, diamond burs could provide a more
848 economical, accessible, and safer method for intraoral use. Regarding the
849 adhesive approach, the total-etching would be more effective for the removal of
850 the *smear layer* produced by the instrument, improving the hybrid layer formation.
851 However, clinical studies are needed to evaluate the effectiveness of different
852 surface treatments and bonding strategies in the longevity of composite
853 restorations in sclerotic NCCLs.

854 Conclusion

855 From the results of this study, it was possible to conclude that the dentin
856 surface pretreatment alone was not able to increase the bond strength of a resin
857 composite to the sclerotic dentin of NCCLs. However, the use of a total-etch

858 approach in sclerotic dentin subjected to a 15-second diamond bur abrasion
859 presented higher means among all groups.

860 **References**

- 861 1. Bartlett DW, & Shah P (2006) A critical review of non-carious cervical
862 (wear) lesions and the role of abfraction, erosion, and abrasion *J Dent*
863 *Res* **85(4)** 306–312.
- 864 2. Wood I, Jawad Z, Paisley C, & Brunton P (2008) Non-carious cervical
865 tooth surface loss: A literature review *J Dent* **36(10)** 759–766
- 866 3. Igarashi Y, Yoshida S, & Kanazawa E (2017) The prevalence and
867 morphological types of non-carious cervical lesions (NCCL) in a
868 contemporary sample of people *Odontology* **105(4)** 1–10, doi
869 10.1007/s10266-017-0300-y.
- 870 4. Borcic J, Anic I, Urek MM, & Ferreri S (2004) The prevalence of non-
871 carious cervical lesions in permanent dentition *J Oral Rehabil* **31(2)**
872 117–123.
- 873 5. Khan F, Young WG, Shahabi S, & Daley TJ (1999) Dental cervical
874 lesions associated with occlusal erosion and attrition *Aust Dent J* **44(3)**
875 176–186.
- 876 6. Karan K, Yao X, Xu C, & Wang Y (2009) Chemical profile of the dentin
877 substrate in non-carious cervical lesions *Dent Mater* **25(10)** 1205–1212,
878 doi 10.1016/j.dental.2009.04.006.
- 879 7. El-din AKN, Miller BH, & Griggs JA (2004) Resin bonding to sclerotic,
880 noncarious, cervical lesions. *Quintessence Int* **35(7)** 529–540.
- 881 8. Van Meerbeek B, Braem M, Lambrechts P, & Vanherle G (1994)
882 Morphological characterization of the interface between resin and
883 sclerotic dentine *J Dent* **22(3)** 141–146, doi 10.1016/0300-
884 5712(94)90197-X.
- 885 9. Carvalho TS, Lussi A (2017) Age-related morphological, histological
886 and functional changes in teeth. *J Oral Rehabil* **44(4)** 291-298, doi
887 10.1111/joor.12474.
- 888 10. Kusunoki M, Itoh K, Hisamitsu H, & Wakumoto S (2002) The efficacy of
889 dentine adhesive to sclerotic dentine. *J Dent* **30(2)** 91–97, doi
890 10.1016/S0300-5712(02)00003-9.

- 891 11. Georgescu A, Iovan G, Stoleriu S, Topoliceanu C, & Andrian S (2010)
892 Atomic force microscopy study regarding the influence of etching on
893 affected and sclerotic dentine. *Rom J Morphol Embryol* **51(2)** 299–302.
- 894 12. Daley TJ, Harbrow DJ, Kahler B, & Young WG (2009) The cervical
895 wedge-shaped lesion in teeth: A light and electron microscopic study.
896 *Aust Dent J* **54(3)** 212–219, doi 10.1111/j.1834-7819.2009.01121.x.
- 897 13. Yoshiyama M, Sano H, Ebisu S, Tagami J, Ciucchi B, Carvalho RM,
898 Johnson MH & Pashley DH (1996), Regional strengths of bonding
899 agents to cervical sclerotic root dentin. *J Dent Res* **75(6)** 1404-1413, doi
900 10.1177/00220345960750061201.
- 901 14. Mena-Serrano AP, Garcia EJ, Perez MM, Martins GC, Grande RHM,
902 Loguercio AD, & Reis A (2013) Effect of the application time of
903 phosphoric acid and self-etch adhesive systems to sclerotic dentin. *J
904 Appl Oral Sci* **21(2)** 196–202, doi 10.1590/1678-7757201302136.
- 905 15. van Dijken JW (2000) Clinical evaluation of three adhesive systems in
906 class V non-carious lesions. *Dent Mater* **16** 285–291, doi
907 10.1016/S0109-5641(00)00019-1.
- 908 16. Farias DCS, Lopes GC, & Baratieri LN (2015) Two-year clinical
909 performance of a two-step etch-and-rinse adhesive in non-carious
910 cervical lesions *Clin Oral Investig* **19(8)** 1867–1874, doi
911 10.1007/s00784-015-1399-2.
- 912 17. Lopes GC, Vieira LCC, Monteiro S, Caldeira de Andrada MA, &
913 Baratieri CM (2003) Dentin bonding: effect of degree of mineralization
914 and acid etching time. *Oper Dent* **28(4)** 429–39.
- 915 18. Zimmerli B, De Munck J, Lussi A, Lambrechts P, & Van Meerbeek B
916 (2012) Long-term bonding to eroded dentin requires superficial bur
917 preparation *Clin Oral Investig* **16(5)** 1451–1461, doi 10.1007/s00784-
918 011-0650-8.
- 919 19. Atoui JA, Chinelatti MA, Palma-Dibb RG, & Corona SAM (2010)
920 Microleakage in conservative cavities varying the preparation method
921 and surface treatment. *J Appl Oral Sci* **18(4)** 421–425, doi
922 10.1590/S1678-77572010000400017.
- 923 20. Tay FR, & Pashley DH (2004) Resin bonding to cervical sclerotic dentin:
924 A review *J Dent* **32(3)** 173–196, doi 10.1016/j.jdent.2003.10.009.

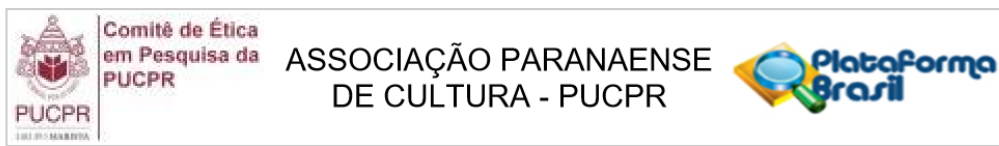
- 925 21.Tay FR, Kwong SM, Itthagaran a, King NM, Yip HK, Moulding KM, &
926 Pashley DH (2000) Bonding of a self-etching primer to non-carious
927 cervical sclerotic dentin: interfacial ultrastructure and microtensile bond
928 strength evaluation. *J Adhes Dent* **2(1)** 9–28.
- 929 22.Liu K, Zhang X, & Wei X (2016) Influence of different acid etching
930 modes on bond strengths to non-carious sclerotic dentin. *Shanghai Kou*
931 *Qiang Yi Xue* **25(1)** 38–41.
- 932 23.Karakaya S, Unlu N, Say, EC, Ozer, F, Sozman M & Tagami J (2008)
933 Bond strengths of three different dentin adhesive systems to sclerotic
934 dentin. *Dental Materials Journal* **27(3)** 471-479.
- 935 24.Eliguzeloglu E, Omurlu H, Eskitascioglu G, & Belli S (2008) Effect of
936 surface treatments and different adhesives on the hybrid layer thickness
937 of non-carious cervical lesions. *Oper Dent* **33(3)** 338–345, doi
938 10.2341/07-96.
- 939 25.Ritter A, Heymann H, Swift Jr E, Sturdevant J, & Wilder A (2008)
940 Clinical Evaluation of an All-in-one Adhesive in Non-Carious Cervical
941 Lesions with Different Degrees of Dentin Sclerosis Clinical Research
942 *Oper Dent* **33(4)** 370–378, doi 10.2341/07-128.
- 943 26.Perdigão J, Kose C, Mena-Serrando AP, De Paula EA, Tay LY, Reis
944 AD (2014) A new universal simplified adhesive: 18-moth clinical
945 evaluation *Oper Dent* **39(2)** 113-127, doi 10.2341/13-045-C.
- 946 27.Luque-Martinez I, Mena-Serrano A, Muñoz M, Hass V, Reis A,
947 Loguercio AD (2013) Effect of Bur Roughness on Bond to Sclerotic
948 Dentin With Self-etch Adhesive Systems *Oper Dent* **38(1)** 39–47, doi
949 10.2341/11-390-L.
- 950 28.Camargo MA, Roda MI, Marques MM, & de Cara AA (2008) Micro-
951 tensile bond strength to bovine sclerotic dentine: Influence of surface
952 treatment *J Dent* **36(11)** 922–927.
- 953 29.Loguercio AD, Luque-martinez IV, Fuentes S, Reis A, & Muñoz MA
954 (2017) Effect of dentin roughness on the adhesive performance in non-
955 carious cervical lesions: a double-blind randomized clinical trial *J Dent*
956 **69** 60-69, doi 10.1016/J.JDENT.2017.09.011.
- 957 30. Heintze SD, Ruffieux C, & Rousson V (2010) Clinical performance of
958 cervical restorations - A meta-analysis *Dent Mater* **26(10)** 993–1000, doi

- 959 10.1016/j.dental.2010.06.003.
- 960 31. Xu C, Karan K, Yao X, & Wang Y (2009) Molecular structural analysis of
961 noncarious cervical sclerotic dentin using Raman spectroscopy *J*
962 *Raman Spectrosc* **40(12)** 1780–1785, doi 10.1002/jrs.2320.
- 963 32. Karan K, Yao X, Xu C, & Wang Y (2012) Chemical characterization of
964 etched dentin in non-carious cervical lesions. *J Adhes Dent* **14(4)** 315–
965 22, doi 10.3290/j.jad.a22766.
- 966 33. Sano H, Shono T, Takatsu T, & Hosoda H (1994) Microporous Dentin
967 Zone beneath Resin-impregnated Layer *Oper Dent* **80(2)** 59–64.
- 968 34. Tan JG, Zhou LJ, Feng M, Feng HL (2005) Ultrastructural study of a
969 self-etching adhesive to sclerotic dentin in non-carious cervical lesions,
970 *Chinese J Stomatol* **40(3)** 230-232.
- 971 35. Lawson NC, Robles A, Fu C-C, Lin CP, Sawlani K, & Burgess JO
972 (2015) Two-year clinical trial of a universal adhesive in total-etch and
973 self-etch mode in non-carious cervical lesions. *J Dent* **43(10)** 1229–34,
974 doi 10.1016/j.jdent.2015.07.009.
- 975 36. Chee B, Rickman LJ, & Satterthwaite JD (2012) Adhesives for the
976 restoration of non-carious cervical lesions: A systematic review *J Dent*
977 **40(6)** 443–452, doi 10.1016/j.jdent.2012.02.007.
- 978 37. Eliguzeloglu Dalkilic E, & Omurlu H (2012) Two-year clinical evaluation
979 of three adhesive systems in non-carious cervical lesions. *J Appl Oral*
980 *Sci* **20(2)** 192–9.
- 981 38. Semeraro S, Mezzanzanica D, Spreafico D, Gagliani M, Re D, Tanaka
982 T, Sidhu SK, & Sano H (2006) Effect of Different Bur Grinding on the
983 Bond Strength of Self-etching Adhesives *Oper Dent* **31(3)** 317–323, doi
984 10.2341/04-171.
- 985 39. Rocha A, Da Rosa W, Cocco A, Da Silva A, Piva E, & Lund R-G (2018)
986 Influence of Surface Treatment on Composite Adhesion in Noncarious
987 Cervical Lesions: Systematic Review and Meta-analysis *Oper Dent*
988 **43(15)** 508–519, doi 10.2341/17-086-L.
- 989 40. Koase K, Inoue S, Noda M, Tanaka T, Kawamoto C, Takahashi A,
990 Nakaoki Y, & Sano H (2004) Effect of bur-cut dentin on bond strength
991 using two all-in-one and one two-step adhesive systems. *J Adhes Dent*
992 **6(2)** 97–104.

- 993 41. Meerbeek B Van, Munck JD, Lambrechts D, & Landuyt M Van (2003)
994 Microtensile Bond Strengths of an Etch&Rinse and Self-Etch Adhesive
995 to Enamel and Dentin as a Function of Surface Treatment *Oper Dent*
996 **28(5)** 647–660, doi 10.1016/j.jdent.2007.09.008.
- 997 42. Freeman R, Varanasi S, Meyers IA, & Symons AL (2012) Effect of air
998 abrasion and thermocycling on resin adaptation and shear bond
999 strength to dentin for an etch-and-rinse and self-etch resin adhesive
1000 *Dent Mater J* **31(2)** 180–188, doi 10.4012/dmj.2011-146.
- 1001 43.
- 1002 44. Oliveira B, Ulbaldini A, Sato F, Baesso M, Bento A, Andrade L, Lima S,
1003 & Pascotto R (2017) Chemical Interaction Analysis of an Adhesive
1004 Containing 10-Methacryloyloxydecyl Dihydrogen Phosphate (10-MDP)
1005 With the Dentin in Noncarious Cervical Lesions *Oper Dent* **42(4)** 357–
1006 366, doi 10.2341/16-062-L.
- 1007 45. Yoshida Y, Nagakane K, Fukuda R, Nakayama Y, Okazaki M, Shintani
1008 H, Inoue S, Tagawa Y, Suzuki K, De Munck J, & Van Meerbeek B
1009 (2004) Comparative study on adhesive performance of functional
1010 monomers *J Dent Res* **83(6)** 454–458, doi
1011 10.1177/154405910408300604.
- 1012 46. Van Landuyt KL, Snaauwaert J, De Munck J, Peumans M, Yoshida Y,
1013 Poitevin A, Coutinho E, Suzuki K, Lambrechts P, & Van Meerbeek B
1014 (2007) Systematic review of the chemical composition of contemporary
1015 dental adhesives *Biomaterials* **28(26)** 3757–3785, doi
1016 10.1016/j.biomaterials.2007.04.044.
- 1017
1018
1019
1020
1021
1022
1023
1024
1025
1026

1027 Anexos

1028 *Parecer do Comitê de Ética*



PARECER CONSUBSTANCIADO DO CEP

DADOS DO PROJETO DE PESQUISA

Título da Pesquisa: Estudo morfológico da dentina em lesões cervicais não-carosas naturais e reproduzidas in vitro

Pesquisador: Evelise Machado de Souza

Área Temática:

Versão: 1

CAAE: 69663717.1.0000.0020

Instituição Proponente: Pontifícia Universidade Católica do Paraná

Patrocinador Principal: Financiamento Próprio

DADOS DO PARECER

Número do Parecer: 2.142.723

Apresentação do Projeto:

Descritos pelo autor:

As lesões cervicais não-carosas se apresentam como uma perda de tecido duro localizado no terço cervical da coroa dental e na porção radicular subjacente, originadas por processos não relacionados à cárie. O objetivo deste estudo será reproduzir LCNCs in vitro em dentes humanos extraídos por meio de ciclos de escovação, ciclos de erosão ácida associada à escovação e desgaste com ponta diamantada. Sessenta molares humanos hígidos serão obtidos em Banco de Dentes e divididos em 5 grupos: 1) escovação com dentífrico abrasivo, 2) escovação com dentífrico abrasivo + erosão com ácido cítrico 0,5 % por 2min, 3) escovação com dentífrico não abrasivo, 4) escovação com dentífrico não abrasivo + erosão com ácido cítrico 0,5 % durante 2min, e 5) desgaste com ponta diamantada esférica com 3mm de profundidade, 3mm de altura e 4mm de largura. As lesões obtidas serão analisadas em perfilômetro de contato e não-contato com parâmetros e filtros a serem definidos. ANOVA a um critério, seguida de um teste de comparações múltiplas de Tukey HSD ou Games-Howell serão utilizados para detectar diferenças entre os fatores e entre grupos.

Endereço:	Rua Imaculada Conceição 1155	CEP:	80.215-901
Bairro:	Prado Velho	Município:	CURITIBA
UF:	PR	Telefone:	(41)3271-2103
		Fax:	(41)3271-2103
		E-mail:	nep@pucpr.br

Página 01 de 04

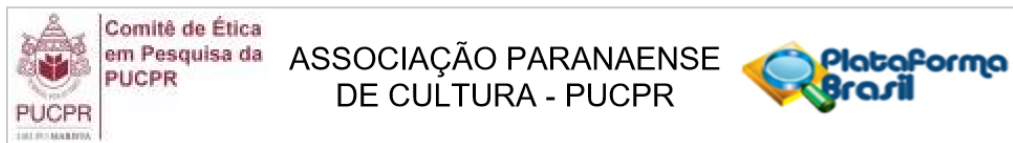
1029

1030

1031

1032

1033



Continuação do Parecer: 2.142.723

Objetivo da Pesquisa:

Descritos pelo autor:

Objetivo Primário:

Os resultados esperados no estudo são de que as lesões sejam reproduzidas satisfatoriamente em todos os grupos experimentais e suas características morfológicas e estruturas possam ser analisadas por meio do uso dos equipamentos propostos no método.

Avaliação dos Riscos e Benefícios:

Descritos pelo autor:

Riscos:

Não haverá riscos ao operador, pois ele utilizará os equipamentos necessários para sua proteção (EPIs). Evitando assim qualquer tipo de acidente.

Benefícios:

Vários benefícios do ponto de vista científico, para um melhor entendimento das lesões cervicais. Auxiliando assim a aplicação desse conhecimento em clínica.

Os riscos e benefícios apresentados não estão adequados de acordo com a resolução 466/2012. Os riscos e benefícios devem dizer respeito exclusivamente aos participantes e não a ciência ou a pesquisa em questão.

Comentários e Considerações sobre a Pesquisa:

A metodologia e objetivos apresentados estão adequados e em acordo com a Resolução 466/2012.

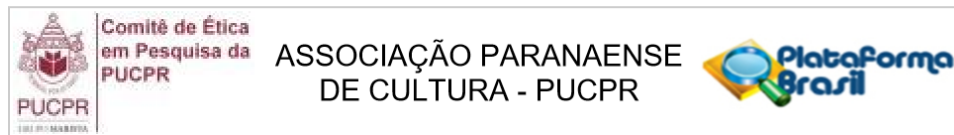
Considerações sobre os Termos de apresentação obrigatória:

Os termos apresentados estão adequados e em acordo com a Resolução 466/2012.

Recomendações:

Adequar riscos e benefícios. Os riscos e benefícios apresentados não estão adequados de acordo com a resolução 466/2012. Os riscos e benefícios devem dizer respeito exclusivamente aos participantes e não a ciência ou a pesquisa em questão. Como a pesquisa em questão não envolve

Endereço:	Rua Imaculada Conceição 1155	CEP:	80.215-901
Bairro:	Prado Velho	Município:	CURITIBA
UF:	PR	Fax:	(41)3271-2103
Telefone:	(41)3271-2103	E-mail:	nep@pucpr.br



Continuação do Parecer: 2.142.723

diretamente participantes, esclarecer que as medidas ética foram tomadas para minimizar os riscos (por exemplo uso do banco de dentes sem autorização).

Conclusões ou Pendências e Lista de Inadequações:

Projeto aprovado.

Considerações Finais a critério do CEP:

Lembramos aos senhores pesquisadores que, no cumprimento da Resolução 466/2012, o Comitê de Ética em Pesquisa (CEP) deverá receber relatórios anuais sobre o andamento do estudo, bem como a qualquer tempo e a critério do pesquisador nos casos de relevância, além do envio dos relatos de eventos adversos, para conhecimento deste Comitê. Salientamos ainda, a necessidade de relatório completo ao final do estudo. Eventuais modificações ou emendas ao protocolo devem ser apresentadas ao CEPPUCPR de forma clara e sucinta, identificando a parte do protocolo a ser modificada e as suas justificativas. Se a pesquisa, ou parte dela for realizada em outras instituições, cabe ao pesquisador não iniciá-la antes de receber a autorização formal para a sua realização. O documento que autoriza o início da pesquisa deve ser carimbado e assinado pelo responsável da instituição e deve ser mantido em poder do pesquisador responsável, podendo ser requerido por este CEP em qualquer tempo.

Este parecer foi elaborado baseado nos documentos abaixo relacionados:

Tipo Documento	Arquivo	Postagem	Autor	Situação
Informações Básicas do Projeto	PB_INFORMAÇÕES_BÁSICAS_DO_PROJECTO_934892.pdf	07/06/2017 20:52:58		Aceito
Declaração de Manuseio Material Biológico / Biorepositório / Biobanco	banco_de_dentes.pdf	07/06/2017 20:47:57	Evelise Machado de Souza	Aceito
Projeto Detalhado / Brochura Investigador	Plano_de_Trabalho_Stephanie.docx	07/06/2017 20:13:35	Evelise Machado de Souza	Aceito
Folha de Rosto	folha_de_rosto.pdf	07/06/2017 20:12:53	Evelise Machado de Souza	Aceito

Situação do Parecer:

Aprovado

Necessita Apreciação da CONEP:

Não

Endereço: Rua Imaculada Conceição 1155	CEP: 80.215-901
Bairro: Prado Velho	
UF: PR	Município: CURITIBA
Telefone: (41)3271-2103	Fax: (41)3271-2103
	E-mail: nep@pucpr.br

Página 03 de 04

1045

1046 Análise Estatística Completa

1047

Testes de Normalidade - Resistência de União (Mpa)

Tratamento de Superfície x Sistema Adesivo	Shapiro-Wilk		
	Estatística	df	Valor p
Ponta diamantada / Convencional	0,980	24	0,8997
Ponta diamantada / Autocondicionante	0,948	18	0,3973
Jateamento / Convencional	0,968	20	0,7224
Jateamento / Autocondicionante	0,931	18	0,1994
Sem tratamento / Convencional	0,956	25	0,3408
Sem tratamento / Autocondicionante	0,942	23	0,2033

1048

Teste de Homogeneidade de Variâncias

Variável	Estatística de Levene	df1	df2	Valor p
Resistência de União (MPa)	1,112	5	122	0,358

ANOVA A DOIS FATORES MODELO FATORIAL COMPLETO

FATORES	CÓDIGO	RÓTULO DE VALOR	N
Tratamento de Superfície	1	Ponta diamantada	42
	2	Jateamento	38
	3	Sem tratamento	48
Sistema Adesivo	1	Convencional	69
	2	Autocondicionante	59

1049

Descriptivos

Resistência de União (MPa)

Tratamento de Superfície	N	Média	Desvio Padrão	Erro Padrão	Intervalo de confiança de 95% para média	Mínimo	Máximo
					Limite inferior	Limite superior	
Ponta diamantada	42	18,8443	9,30854	1,43634	15,9435	21,7450	2,80
Jateamento	38	16,5592	8,57274	1,39068	13,7414	19,3770	1,23
Sem tratamento	48	13,4135	7,05274	1,01797	11,3656	15,4614	1,96
							32,10

Teste de Homogeneidade de Variâncias

Variável	Estatística de Levene	df1	df2	Valor p
Resistência de União (MPa)	1,983	2	125	0,142

1050

ANOVA A DOIS FATORES MODELO FATORIAL COMPLETO

Variável dependente:

Fonte de Variação	Soma dos Quadrados	gl	Quadrado Médio	F	Valor p	Poder observado ^b
Tratamento de Superfície	571,086	2	285,543	4,987	0,00828	0,80416
Sistema Adesivo	1582,279	1	1582,279	27,634	0,00000	0,99943
Tratamento de Superfície * Sistema Adesivo	104,946	2	52,473	0,916	0,40268	0,20544
Erro	6985,482	122	57,258			
Total corrigido	9280,259	127				

1051

b. Calculado usando alfa = ,05

Comparações múltiplas

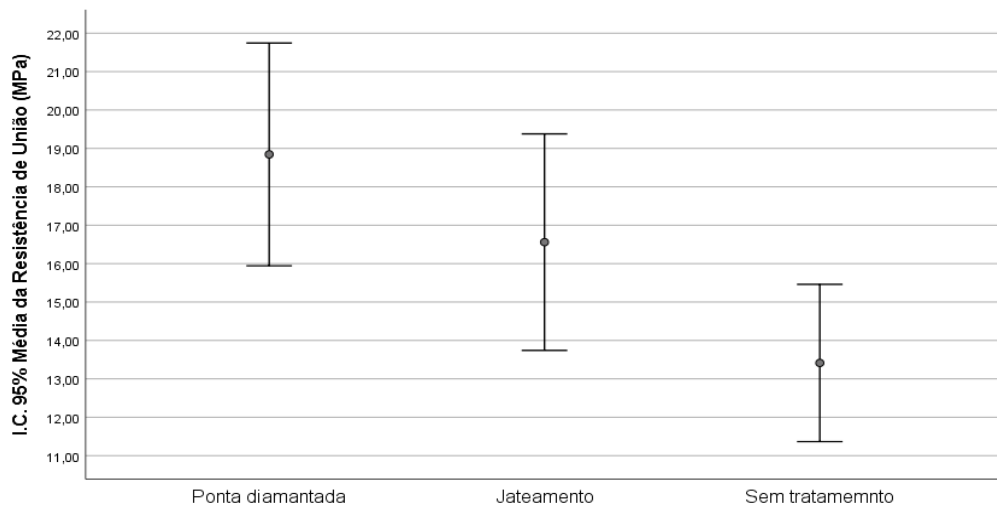
Variável dependente: Resistência de União (MPa)

Tukey HSD

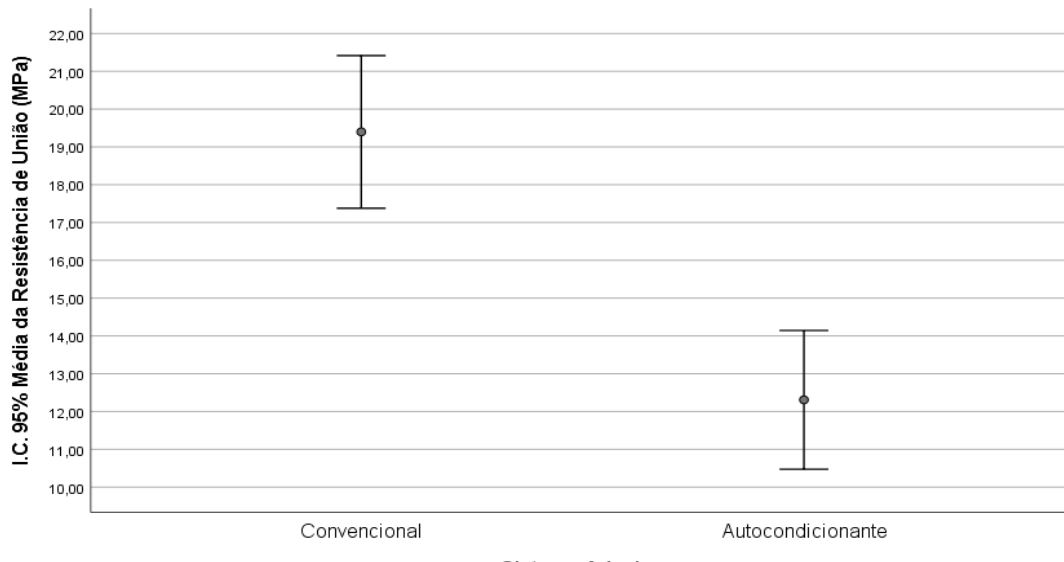
(I) Tratamento de Superfície	(J) Tratamento de Superfície	Diferença média (I-J)	Erro Padrão	Valor p	Intervalo de Confiança 95%	
					Limite inferior	Limite superior
Ponta diamantada	Jateamento	2,28508	1,85809	0,4379	-2,1222	6,6924
	Sem tratamento	5,43074*	1,75353	0,0068	1,2714	9,5900
Jateamento	Ponta diamantada	-2,28508	1,85809	0,4379	-6,6924	2,1222
	Sem tratamento	3,14567	1,80208	0,1925	-1,1288	7,4201
Sem tratamento	Ponta diamantada	-5,43074*	1,75353	0,0068	-9,5900	-1,2714
	Jateamento	-3,14567	1,80208	0,1925	-7,4201	1,1288

*. A diferença média é significativa no nível 0,05.

1052

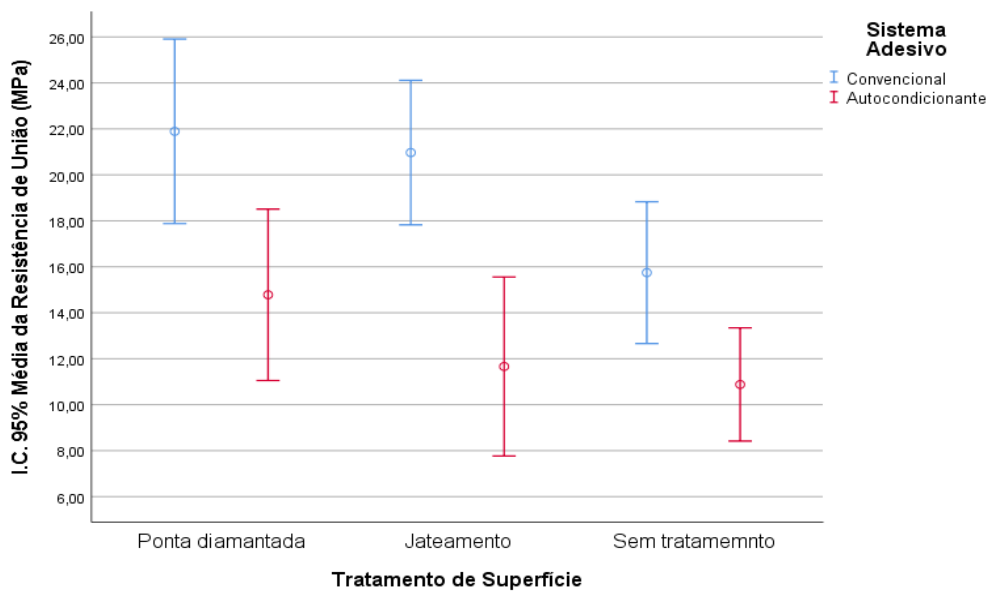


1053



1054

1055



1056

Comparações múltiplas

Variável dependente: Resistência de União (MPa)

Tukey HSD

(I) Tratamento de Superfície x Sistema Adesivo	(J) Tratamento de Superfície x Sistema Adesivo	Diferença média (I-J)	Erro Erro	Valor p	Intervalo de Confiança 95%	
					Limite inferior	Limite superior
Ponta diamantada / Convencional	Ponta diamantada / Autocondicionante	7,11153*	2,35940	0,0362	0,2798	13,9432
	Jateamento / Convencional	0,92458	2,29099	0,9986	-5,7091	7,5582
	Jateamento / Autocondicionante	10,23097*	2,35940	0,0004	3,3993	17,0627
	Sem tratamento / Convencional	6,14768	2,16242	0,0575	-0,1137	12,4090
	Sem tratamento / Autocondicionante	11,01208*	2,20799	0,0000	4,6188	17,4054
Ponta diamantada / Autocondicionante	Ponta diamantada / Convencional	-7,11153*	2,35940	0,0362	-13,9432	-0,2798
	Jateamento / Convencional	-6,18694	2,45844	0,1274	-13,3054	0,9315
	Jateamento / Autocondicionante	3,11944	2,52230	0,8179	-4,1840	10,4228
	Sem tratamento / Convencional	-0,96384	2,33909	0,9984	-7,7367	5,8090
	Sem tratamento / Autocondicionante	3,90056	2,38128	0,5752	-2,9945	10,7956
Jateamento / Convencional	Ponta diamantada / Convencional	-0,92458	2,29099	0,9986	-7,5582	5,7091
	Ponta diamantada / Autocondicionante	6,18694	2,45844	0,1274	-0,9315	13,3054
	Jateamento / Autocondicionante	9,30639*	2,45844	0,0032	2,1879	16,4249
	Sem tratamento / Convencional	5,22310	2,27007	0,2017	-1,3500	11,7962
	Sem tratamento / Autocondicionante	10,08750*	2,31352	0,0004	3,3886	16,7864
Jateamento / Autocondicionante	Ponta diamantada / Convencional	-10,23097*	2,35940	0,0004	-17,0627	-3,3993
	Ponta diamantada / Autocondicionante	-3,11944	2,52230	0,8179	-10,4228	4,1840
	Jateamento / Convencional	-9,30639*	2,45844	0,0032	-16,4249	-2,1879
	Sem tratamento / Convencional	-4,08329	2,33909	0,5046	-10,8562	2,6896
	Sem tratamento / Autocondicionante	0,78111	2,38128	0,9995	-6,1139	7,6762
Sem tratamento / Convencional	Ponta diamantada / Convencional	-6,14768	2,16242	0,0575	-12,4090	0,1137
	Ponta diamantada / Autocondicionante	0,96384	2,33909	0,9984	-5,8090	7,7367
	Jateamento / Convencional	-5,22310	2,27007	0,2017	-11,7962	1,3500
	Jateamento / Autocondicionante	4,08329	2,33909	0,5046	-2,6896	10,8562
	Sem tratamento / Autocondicionante	4,86440	2,18628	0,2340	-1,4660	11,1948
Sem tratamento / Autocondicionante	Ponta diamantada / Convencional	-11,01208*	2,20799	0,0000	-17,4054	-4,6188
	Ponta diamantada / Autocondicionante	-3,90056	2,38128	0,5752	-10,7956	2,9945
	Jateamento / Convencional	-10,08750*	2,31352	0,0004	-16,7864	-3,3886
	Jateamento / Autocondicionante	-0,78111	2,38128	0,9995	-7,6762	6,1139
	Sem tratamento / Convencional	-4,86440	2,18628	0,2340	-11,1948	1,4660

*. A diferença média é significativa no nível 0,05.

1057 *Normas para publicação – Operative Dentistry*

1058

1059 **INSTRUCTIONS TO AUTHORS**

1060

1061 Operative Dentistry requires electronic submission of all manuscripts. All
1062 submissions must be sent to Operative Dentistry using the Allen Track upload
1063 site. Your manuscript will only be considered officially submitted after it has been
1064 approved through our initial quality control check, and any problems have been
1065 fixed. You will have 6 days from when you start the process to submit and
1066 approve the manuscript. After the 6 day limit, if you have not finished the
1067 submission, your submission will be removed from the server. You are still able to
1068 submit the manuscript, but you must start from the beginning. Be prepared to
1069 submit the following manuscript files in your upload:

1070

1071 A Laboratory or Clinical Research Manuscript file must include:

1072

- a title
- a running (short) title
- a clinical relevance statement
- a concise summary (abstract)
- introduction, methods & materials, results, discussion and conclusion
- references (see Below)
- The manuscript MUST NOT include any:
 - identifying information such as:
 - Authors
 - Acknowledgements
 - Correspondence information
 - Figures
 - Graphs
 - Tables

1087 An acknowledgement, disclaimer and/or recognition of support (if
1088 applicable) must in a separate file and uploaded as supplemental material.

1089 All figures, illustrations, graphs and tables must also be provided as
1090 individual files. These should be high resolution images, which are used by the
1091 editor in the actual typesetting of your manuscript. Please refer to the instructions
1092 below for acceptable formats.

1093 All other manuscript types use this template, with the appropriate changes
1094 as listed below.

1095 Complete the online form which includes complete author information and
1096 select the files you would like to send to Operative Dentistry. Manuscripts that do
1097 not meet our formatting and data requirements listed below will be sent back to
1098 the corresponding author for correction.

1099

1100 GENERAL INFORMATION

1101

1102 All materials submitted for publication must be submitted exclusively to
1103 Operative Dentistry.

1104 The editor reserves the right to make literary corrections.

1105 Currently, color will be provided at no cost to the author if the editor deems
1106 it essential to the manuscript. However, we reserve the right to convert to gray
1107 scale if color does not contribute significantly to the quality and/or information
1108 content of the paper.

1109 The author(s) retain(s) the right to formally withdraw the paper from
1110 consideration and/or publication if they disagree with editorial decisions.

1111 International authors whose native language is not English must have their
1112 work reviewed by a native English speaker prior to submission.

1113 Spelling must conform to the American Heritage Dictionary of the English
1114 Language, and SI units for scientific measurement are preferred.

1115 While we do not currently have limitations on the length of manuscripts, we
1116 expect papers to be concise; Authors are also encouraged to be selective in their
1117 use of figures and tables, using only those that contribute significantly to the
1118 understanding of the research.

1119 Acknowledgement of receipt is sent automatically. If you do not receive
1120 such an acknowledgement, please contact us at editor@jopdent.org rather than
1121 resending your paper.

1122 **IMPORTANT:** Please add our e-mail address to your address book on your
1123 server to prevent transmission problems from spam and other filters. Also make
1124 sure that your server will accept larger file sizes. This is particularly important
1125 since we send page-proofs for review and correction as .pdf files.

1126 **REQUIREMENTS**

1127

1128 **FOR ALL MANUSCRIPTS**

1129

1130 **CORRESPONDING AUTHOR** must provide a **WORKING / VALID** e-mail
1131 address which will be used for all communication with the journal.

1132 **NOTE:** Corresponding authors **MUST** update their profile if their e-mail or
1133 postal address changes. If we cannot contact authors within seven days, their
1134 manuscript will be removed from our publication queue.

1135 **AUTHOR INFORMATION** must include:

- 1136 • full name of all authors
- 1137 • complete mailing address for each author
- 1138 • degrees (e.g. DDS, DMD, PhD)
- 1139 • affiliation (e.g. Department of Dental Materials, School of Dentistry,
1140 University of Michigan)

1141 **MENTION OF COMMERCIAL PRODUCTS/EQUIPMENT** must include:

- 1142 • full name of product
- 1143 • full name of manufacturer
- 1144 • city, state and/or country of manufacturer

1145 **MANUSCRIPTS AND TABLES** must be provided as Word files. Please
1146 limit size of tables to no more than one US letter sized page. (8 ½ " x 11")

1147 **ILLUSTRATIONS, GRAPHS AND FIGURES** must be provided as TIFF or
1148 JPEG files with the following parameters

- 1149 • line art (and tables that are submitted as a graphic) must be sized at
1150 approximately 5" x 7" and have a resolution of 1200 dpi.
- 1151 • gray scale/black & white figures must have a minimum size of 3.5" x
1152 5", and a maximum size of 5" x 7" and a minimum resolution of 300
1153 dpi and a maximum of 400 dpi.

1154 • color figures must have a minimum size of 2.5" x 3.5", and a
1155 maximum size of 3.5" x 5" and a minimum resolution of 300 dpi and
1156 a maximum of 400 dpi.

1157 • color photographs must be sized at approximately 3.5" x 5" and have
1158 a resolution of 300 dpi.

1159

1160 OTHER MANUSCRIPT TYPES

1161 CLINICAL TECHNIQUE/CASE STUDY MANUSCRIPTS must include:

- 1162 • a running (short) title
- 1163 • purpose
- 1164 • description of technique
- 1165 • list of materials used
- 1166 • potential problems
- 1167 • summary of advantages and disadvantages
- 1168 • references (see below)

1169 LITERATURE AND BOOK REVIEW MANUSCRIPTS must include:

- 1170 • a running (short) title
- 1171 • a clinical relevance statement based on the conclusions of the
1172 review
- 1173 • conclusions based on the literature review...without this, the review
1174 is just an exercise
- 1175 • references (see below)

1176

1177

1178 FOR REFERENCES

1179 REFERENCES must be numbered (superscripted numbers) consecutively
1180 as they appear in the text and, where applicable, they should appear after
1181 punctuation.

1182 The reference list should be arranged in numeric sequence at the end of
1183 the manuscript and should include:

1184 1. Author(s) last name(s) and initial (ALL AUTHORS must be listed)
1185 followed by the date of publication in parentheses.

1186 2. Full article title.

1187 3. Full journal name in italics (no abbreviations), volume and issue
1188 numbers and first and last page numbers complete (i.e. 163-168 NOT attenuated
1189 163-68).

1190 4. Abstracts should be avoided when possible but, if used, must include
1191 the above plus the abstract number and page number.

1192 5. Book chapters must include chapter title, book title in italics, editors'
1193 names (if appropriate), name of publisher and publishing address.

1194 6. Websites may be used as references, but must include the date (day,
1195 month and year) accessed for the information.

1196 7. Papers in the course of publication should only be entered in the
1197 references if they have been accepted for publication by a journal and then given
1198 in the standard manner with "In press" following the journal name.

1199 8. DO NOT include unpublished data or personal communications in the
1200 reference list. Cite such references parenthetically in the text and include a date.

1201 EXAMPLES OF REFERENCE STYLE

1202

1203 Journal article: two authors

1204 Evans DB & Neme AM (1999) Shear bond strength of composite resin and
1205 amalgam adhesive systems to dentin American Journal of Dentistry 12(1) 19-25.

1206 Journal article: multiple authors

1207 Eick JD, Gwinnett AJ, Pashley DH & Robinson SJ (1997) Current concepts
1208 on adhesion to dentin Critical Review of Oral and Biological Medicine 8(3) 306-
1209 335.

1210 Journal article: special issue/supplement

1211 Van Meerbeek B, Vargas M, Inoue S, Yoshida Y, Peumans M, Lambrechts
1212 P & Vanherle G (2001) Adhesives and cements to promote preservation dentistry
1213 Operative Dentistry (Supplement 6) 119-144.

1214 Abstract:

1215 Yoshida Y, Van Meerbeek B, Okazaki M, Shintani H & Suzuki K (2003)
1216 Comparative study on adhesive performance of functional monomers Journal of
1217 Dental Research 82(Special Issue B) Abstract #0051 p B-19.

1218 Corporate publication:

1219 ISO-Standards (1997) ISO 4287 Geometrical Product Specifications
1220 Surface texture: Profile method – Terms, definitions and surface texture

1221 parameters Geneve: International Organization for Standardization 1st edition 1-
1222 25.

1223 Book: single author

1224 Mount GJ (1990) An Atlas of Glass-ionomer Cements Martin Duntz Ltd,
1225 London.

1226 Book: two authors

1227 Nakabayashi N & Pashley DH (1998) Hybridization of Dental Hard Tissues
1228 Quintessence Publishing, Tokyo.

1229 Book: chapter

1230 Hilton TJ (1996) Direct posterior composite restorations In: Schwartz RS,
1231 Summitt JB, Robbins JW (eds) Fundamentals of Operative Dentistry
1232 Quintessence, Chicago 207-228.

1233 Website: single author

1234 Carlson L (2003) Web site evolution; Retrieved online July 23, 2003 from:
1235 <http://www.d.umn.edu/~lcarlson/cms/evolution.html>

1236 Website: corporate publication

1237 National Association of Social Workers (2000) NASW Practice research
1238 survey 2000. NASW Practice Research Network, 1. 3. Retrieved online
1239 September 8, 2003 from: <http://www.socialworkers.org/naswprn/default>

1240

1241